



بررسی و مدل‌سازی تأثیر ترکیب و آرایش چشم‌انداز شهر بزد بر دمای سطح زمین با استفاده از یادگیری ماشین و داده‌های لندست-۸ و سنتینل-۲

محمد منصورمقدم^۱، ایمان رosta^{۲*}، محمدصادق زمانی^۳، محمدحسین مختاری^۴، محمد کریمی فیروزجایی^۵، سید کاظم علوی‌پناه^۶

۱. دانشجوی دکتری سنجش از دور، مرکز مطالعات سنجش از دور و GIS، دانشگاه شهید بهشتی، تهران

۲. استادیار اقلیم‌شناسی ماهواره‌ای، دانشگاه بزد، بزد

۳. استادیار علوم ریاضی، دانشگاه بزد، بزد

۴. دانشیار سنجش از دور، دانشگاه بزد، بزد

۵. گروه سنجش از دور، دانشگاه تهران، تهران

۶. استاد سنجش از دور، دانشگاه تهران، تهران

تاریخ پذیرش مقاله: ۱۴۰۰/۱۲/۱۶

تاریخ دریافت مقاله: ۱۴۰۰/۰۷/۰۶

چکیده

اثر جزیره گرمایی شهری، بهدلیل تلاقی با چالش‌های محیط‌زیستی مهم قرن بیست‌ویکم، یکی از مهم‌ترین بررسی‌ها در زمینه پدیده‌های محیط‌زیستی است. در همین‌راستا، مطالعه دمای سطح زمین (LST) چشم‌انداز واضحی از بررسی جزایر گرمایی در شهرها به دست می‌دهد که با توجه به اقلیم گرم و خشک شهر بزد، بررسی وضعیت و عوامل اثرگذار بر LST. در این شهر را ضروری می‌نامیاند. این پژوهش با استفاده از تصویر فیوزن‌شده طیفی و مکانی لندست-۸، متعلق به ماه اوت سال ۲۰۲۰ م. و با بهره‌گیری از الگوریتم‌های یادگیری ماشین، سعی دارد تغییرات LST را با محاسبه پارامترهای گوناگون مرتبط با چشم‌انداز سطح زمین شهری، مدل کند. برآسان نتایج این پژوهش، فیوزن طیفی - مکانی تصویر لندست-۸ با سنتینل-۲ بهروش بارزسازی پن، موجب افزایش ۱۰/۷ درصدی دقت کلی و ۱۶/۵ درصدی ضربی کاپا در طبقه‌بندی این تصویر شده است. این پژوهش همچنین نشان داد که بیشتر پارامترهای مرتبط با همسایگی با پوشش اراضی در رده ۱۱ تا ۱۱ تأثیرگذاری بر LST شهر بزد قرار دارند. در این‌بین، مجاورت با پوشش زمین‌های بایر در شعاع ۱۰۰ و ۵۰ و ۱۵۰ متر، بهترتبی، رتبه نخست تا سوم مهم‌ترین پارامترهای اثرگذار بر LST را از آن خود کردند. برمنای این پژوهش، تغییر آرایش پوشش اراضی می‌تواند بر LST مؤثر باشد و تغییر پوشش زمین‌های بایر به مناطق ساخته شده تا ۱/۱ °C، به پوشش گیاهی تا ۲/۱ °C و تغییر ۳/۰ از زمین‌های بایر به پوشش گیاهی، تا ۱/۶ °C می‌تواند میانگین LST را در شهر بزد کاهش دهد. به علاوه پژوهش حاضر، با بررسی دو رویکرد متفاوت شبیه‌سازی ایجاد پوشش گیاهی در سطح شهر بزد، نشان داد رویکرد «صرفه‌جویی در زمین» می‌تواند میانگین LST را در شهر بزد، تا ۱/۳ درجه و رویکرد « تقسیم زمین» می‌تواند آن را تا ۱/۴ °C کاهش دهد.

کلید واژه‌ها: گرادیان بوسینگ، فیوزن تصویر، پارامترهای شهری، شبیه‌سازی پوشش اراضی، سنجش از دور.

* نویسنده مکاتبه‌کننده: بزد، دانشگاه بزد، گروه جغرافیا. تلفن: ۸۹۱۵۸۱۸۴۱۱

Email: irostusta@yazd.ac.ir

<https://orcid.org/0000-0002-3694-6936>

<https://dx.doi.org/10.48308/gisj.2023.102195>



Copyright: © 2023 by the authors. Submitted for possible open access publication under the terms and conditions of the Creative Commons Attribution (CC BY) license (<https://creativecommons.org/licenses/by/4.0/>).

۱- مقدمه

اکوسیستم است که از طریق تقسیم فضای سبز در مناطق شهری ارائه می‌شود. یکی از مؤلفه‌های اساسی بحث درباره زمین‌های شهری، دراین‌زمینه، رویکرد تقسیم زمین (بیانگر تراکم کمتر و پراکندگی بیشتر کاربری‌های زمین شهری) دربرابر رویکرد صرفه‌جویی در زمین (بیانگر تراکم بیشتر و پراکندگی کمتر کاربری‌ها) است (Collas et al., 2017; Stott et al., 2015).

به‌منظور استفاده بهینه از منابع زمینی، کسب اطلاعات از پتانسیل زمین ضروری به‌نظر می‌رسد که با توجه به دگرگونی‌های عمدۀ در شیوه استفاده از زمین، تصاویر چندتایی فناوری سنجش از دور در نقش ابزاری مهم در بررسی این تغییرات ظاهر شده است (Amiri, et al., 2009; Mansourmoghaddam et al., 2009). در سال‌های اخیر، کاربرد سنجش از دور (2022a) حرارتی در مناطق شهری اغلب مبتنی بر جنبه‌هایی مانند مطالعه LST و ساختار فضایی الگوهای گرمایی شهرها، در ارتباط با پارامترهای سطح زمین، توازن و شار انرژی سطح شهری (Grimmond, 2006; Piringer et al., 2002) و ارتباط بین دمای اتمسفری و LST (Jiang & Tian, 2010) بوده است. یادگیری ماشین^۲ شاخه‌ای از هوش مصنوعی^۳ و دانش رایانه‌ای است که بر استفاده از داده‌ها و الگوریتم‌ها به‌منظور یادگیری و بهبود تدریجی دقت عملکرد، همانند انسان، تأکید دارد و جزء مهمی از زمینه در حال رشد علوم داده است (IBM, 2020). ترکیب سنجش از دور و یادگیری ماشین می‌تواند به استفاده هرچه بیشتر الگوریتم‌های پیشرفته و دقیق ریاضی، در شناخت و حل مسائل محیطی منجر شود.

پنگ^۴ و همکاران (۲۰۲۰)، در پژوهشی، ارتباط بین LST و عناصر توپوگرافیک در هانگزو^۵ چین را بررسی کردند. این پژوهش همبستگی منفی بین LST با ارتفاع

افزایش ظرفیت ذخیره‌سازی گرمایی سطوح شهری باعث ایجاد جزایر گرمایی شهری می‌شود و این مسئله عامل گرم‌تریودن مناطق ساخته‌شده شهری در قیاس با مناطق روستایی اطراف آنهاست (Oke, 1982; Rizwan et al., 2008; Taha, 1997). این تفاوت محلی در دما تأثیر منفی در مردم و محیط‌زیست می‌گذارد زیرا کیفیت هوا را کاهش و مصرف انرژی را افزایش می‌دهد؛ همچنین موجب ازدست‌رفتن کنترل بیولوژیکی می‌شود و در سلامت افراد تأثیر می‌گذارد (Grimmond, 2007; Kikegawa, et al., 2003; Meineke et al., 2014; Plocoste et al., 2014). پیشرفت‌های وسیع در سنجش از دور حرارتی، سیستم اطلاعات جغرافیایی و روش‌های آماری، امکان توصیف و تشریح ارتباطات بین چشم‌اندازها و جزایر گرمایی شهری را به جامعه علمی داده است (Tran et al., 2017). برای توصیف چشم‌اندازهای شهری، دو اصطلاح استفاده می‌شود: ترکیب چشم‌انداز که به تعداد (یا نسبت) دسته‌های کاربری اراضی در یک واحد تعريف‌شده اشاره دارد (برای نمونه، یک مسیر، پیکسل یا منطقه) و آرایش چشم‌اندازها که آرایش فضایی آن واحدها را در نظر می‌گیرد (Osborne & Alvares-Sanches, 2019). از سویی، دمای سطح زمین (LST)^۶ رابطه‌ای مستقیم با پوشش/کاربری اراضی دارد (Quattrochi & Luval, 1999)، بنابراین بررسی رابطه پوشش/کاربری اراضی و LST، به‌منظور کشف اثر پوشش/کاربری زمین بر دمای سطح، مسئله‌ای حیاتی است. بررسی الگوی مکانی جزایر گرمایی شهری در کشف پراکندگی و تغییرات پوشش/کاربری اراضی بر LST اهمیت بسیار دارد. همچنین شبیه‌سازی دمای سطحی آینده، براساس پوشش/کاربری اراضی، نقش مهمی در تعديل تأثیرات جزایر گرمایی در آینده شهر ایفا می‌کند زیرا ممکن است به اتخاذ استراتژی و سیاست‌های جدیدی درمورد نقشه کاربری اراضی و طراحی شهری منجر شود که از تأثیرات جزایر گرمایی شهری بکاهد (Tran et al., 2017).

-
1. Land Surface Temperature
 2. Machine Learning
 3. Artificial Intelligence (AI)
 4. Peng
 5. Hangzhou

شهری در مدیریت و برنامه‌ریزی‌های آتی در این شهر، با رویکرد تعديل دمایی، بهبود شرایط اقلیمی، حفظ محیط‌زیست و افزایش رفاه شهری‌وندی باری رساند.

۲- مواد و روش‌ها

۲-۱- منطقه مورد مطالعه

شهر بزد یکی از کلان‌شهرهای ایران و مرکز استان و شهرستان بزد است. این شهر بین طول جغرافیایی $54^{\circ} 54' 22'$ و $53^{\circ} 31' 0'$ و عرض جغرافیایی قرار گرفته است (شکل ۱). مساحت آن 110 کیلومترمربع، شامل $7/43$ کیلومترمربع بافت تاریخی (2019 Yazd Municipality Website, 2019) است و در پژوهش حاضر، بخش مرکزی شهر با مساحت $81/1$ کیلومترمربع بررسی شده است. میانگین ارتفاع این شهر از سطح دریا 1228 متر و میانگین دمای سالیانه آن 20°C است. این شهر دارای اقلیم گرم‌وحشک است و گرم‌ترین ماه سال در آن، با میانگین 33°C ، ژوئن (تیرماه) و پس از آن ژوئن (خرداد) و اوت (مرداد) با 31°C است (CustomWeather, 2022). میانگین بارش در بزد بین 50 تا 60 میلی‌لیتر است (Weatherbase, 2022) که از این‌نظر، خشک‌ترین مرکز استان‌های ایران محسوب می‌شود.

۲-۲- دریافت تصاویر ماهواره‌ای

به منظور دریافت تصویر ماهواره‌ای لندست-۸ و سنتینل-۲ برای انجام‌دادن پژوهش، از وبسایت USGS ایالات متحده امریکا (www.earthexplorer.usgs.gov) استفاده شد. با توجه به ماهیت پژوهش مبنی بر مدل‌سازی پارامترهای مؤثر در LST و همچنین پیش‌بینی آن، با استفاده از یادگیری ماشین، هر دو تصویر از گرم‌ترین ماه سال در شهر بزد، یعنی ماه اوت (مرداد)، انتخاب و دانلود شد. مشخصات تصاویر مورد استفاده در این پژوهش در جدول ۱ آمده است.

1. Shaded Relief

2. Osborn & Alvares-Sanches

3. Southampton

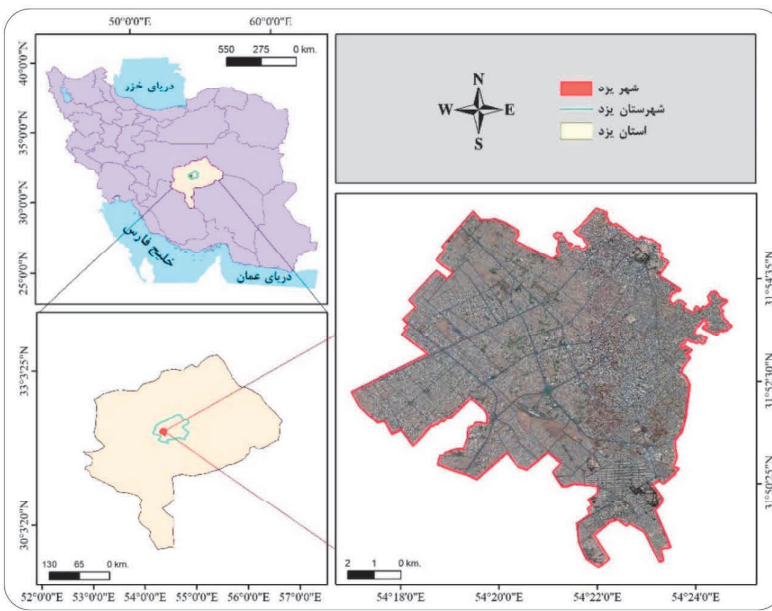
4. Alavipanah

5. Normalized Difference Vegetation Index

و شب و همچنین ارتباط ضعیف بین LST و جهت شیب را نشان داد؛ درحالی که بین نقشه سایر اوسورن ارتفاعی^۱ با LST همبستگی مثبت و قوی وجود دارد. در پژوهشی دیگر، اوسورن و آلوارس-سانچس^۲ (۲۰۱۹) تأثیر پیکربندی و ترکیب چشم‌اندازهای شهری را در LST، در شهر ساوت‌امپتن^۳ انگلیس و با استفاده از یادگیری ماشین، بررسی کردند. این مطالعه نشان داد که وضعیت پوشش‌های طبیعی-نسبت به سایر عوامل، عامل مؤثرتری بر LST است و همچنین تحت تأثیر ارتباط با شاخص‌های تقسیم‌بندی چشم‌انداز قرار دارد.

علوی‌پناه^۴ و همکاران (۲۰۱۵) در پژوهشی با هدف تحلیل زمانی-مکانی جزیره گرمایی شهر مشهد، با تمرکز بر گسترش شهر و تغییرات کاربری و پوشش اراضی، از تصاویر چندزمانه سنجنده‌های TM لندست^۵، ETM+ لندست^۶ و OLI و TIRS لندست^۷ و همچنین روش حد آستانه شاخص پوشش گیاهی تفاضلی نرم‌المل شده^۸، قانون پلانک و الگوریتم دو پنجره مجزا برای شهر مشهد بهره بردن. نتایج این تحقیق نشان داد گسترش یافتن مناطق شهری در مناطق کشاورزی و کاهش فضای سیز داخل شهر عوامل اصلی افزایش LST و گسترش جزایر شهری در شهر مشهد بوده است. این پژوهش مشخص کرد از بین رفتن پوشش گیاهی داخل و اطراف شهر باعث جایگزینی طبقه دمایی بسیار خنک با طبقه دمایی متوسط شده است.

پژوهش حاضر سعی دارد، با بهره‌گیری از داده‌های سنجش از دور در تلفیق با ابزارهای قدرتمندی همچون زبان R، به مدل‌سازی LST شهر بزد در ارتباط با چشم‌اندازهای سطحی شهر بپردازد. با توجه به کاربرد LST در بررسی رطوبت خاک، جزایر گرمایی شهرها و تبخیر و تعرق (Peng et al., 2018) و با درنظر گرفتن اقلیم گرم‌وحشک به همراه تبخیر و تعریق شدید، دوربودن از دریا و نزدیکی به کویر، گرمایی زیاد و دربی آن نبود پوشش گیاهی و رطوبت نسبی مناسب و آب فراوان در شهر بزد، این پژوهش پارامترهای اثرگذار بر LST را در این شهر خشک، بررسی و مدل‌سازی کرده است تا به مدیران، پژوهشگران و برنامه‌ریزان



شکل ۱. موقعیت شهر یزد بهمنزله منطقه مورد مطالعه در کشور ایران، استان و شهرستان یزد

جدول ۱. مشخصات تصاویر مورد استفاده

ماهواره	قدرت تفکیک مکانی (متر)	باندهای مورد استفاده و طول موج (μ) (eesa; USGS)	تاریخ دریافت (ミلادی)	زمان دریافت (GMT)
لندست_۸	۳۰	آبی: ۰/۴۵ سبز: ۰/۵۳ قرمز: ۰/۶۴	۰/۸۵	۰۶:۵۶:۵۳
لندست_۸	۳۰	فروسرخ نزدیک: ۰/۵۷ فروسرخ موج کوتاه: ۱/۵۷	۰/۸۵	۲۰۲۰/۰۸/۰۴
لندست_۸	۳۰	فروسرخ موج کوتاه: ۲/۱۱	۰/۸۵	۰۶:۵۶:۳۱
لندست_۸	۱۰۰	حرارتی: ۱۰/۹	۰/۸۵	۰۶:۵۶:۳۱
سنتینل_۲_A	۱۰	آبی: ۰/۴۹ سبز: ۰/۵۵ قرمز: ۰/۶۶	۰/۸۳	۰۶:۵۶:۳۱

خطاهای اتمسفری، از طریق الگوریتم QUAC^۲ (Module, 2009) در نرمافزار انوی^۳، پیش از شروع مدل سازی، انجام شد.

- 1. Radiometric Correction
- 1. Quick Atmospheric Correction
- 1. ENVI

۲-۳- پیش پردازش تصاویر

تصاویر دریافتی از نظر هندسی، رادیومتریکی و اتمسفری صرفاً پیش پردازش های رادیومتریکی و اتمسفری مورد نیاز بودند. این تصحیحات، به منظور تبدیل مقدار رقومی تصاویر به بازتابش، با استفاده از ابزار تصحیح رادیومتریکی^۱ و به منظور حذف اثر

سطحی شهر یزد، به همراه رویکرد شبیه‌سازی پوشش‌های جایگزین پوشش بایر و رویکرد شبیه‌سازی پوشش گیاهی در رویکرد تقسیم زمین و صرفه‌جویی در زمین، تهیه و در مدل‌سازی استفاده شد.

۱-۶-۲- تهیه نقشه پوشش اراضی به منظور تهیه نقشه پوشش اراضی شهر یزد، روش حداکثر احتمال^۳ به کار رفت. بدین‌منظور، ابتدا یک‌صد نقطه داده از چهار نوع پوشش اراضی (مناطق ساخته‌شده، پوشش گیاهی، آسفالت و زمین‌های بایر) از بازدید میدانی سراسر شهر به دست آمد. این پوشش‌های اراضی در پژوهش‌های گوناگون (Bonafoni & Keeratikasikorn, 2018; Karakuş, 2019; Mustafa et al., 2021; Ullah et al., 2019) به منزله مؤثرترین کلاس‌های پوشش اراضی بر LST بررسی شده‌اند. یک‌صد نقطه داده مورد اشاره، به همراه چهار‌صد نقطه دیگر به‌ازای هر پوشش اراضی که با استفاده از تصویر گوگل ارث و تجربه کاربر در مورد منطقه مطالعاتی استخراج شده بود، به منزله نمونه تمرینی، به طبقه‌بندی کننده معروفی شد. درنهایت، نقشه پوشش اراضی برای سال ۲۰۲۰ شهر یزد، به روش حداکثر احتمال به دست آمد. برای ارزیابی دقت نقشه‌های پوشش اراضی نیز، پنجاه نقطه بازدید زمینی و پنجاه نقطه انتخاب شده از تصویر گوگل ارث شهر یزد به الگوریتم معروفی شد. الگوریتم طبقه‌بندی حداکثر احتمال یکی از پراستفاده‌ترین روش‌های طبقه‌بندی پارامتری است (Colditz et al., 2006) و در آن، d مؤلفه طیفی که متغیرهای تصادفی گاوی^۴ مستقل‌اند، Richards 1999 بیانگر هر کلاس از پوشش اراضی‌اند (Richards, 1999). در این مدل، فرض بر این است که داده‌ها، براساس مدل احتمالی از پیش تعريف‌شده‌ای برای طبقه‌بندی کننده‌های پارامتری، توزیع شده‌اند.

1. Gram-Schmidt Pan Sharpening
2. Root Mean Square Error
3. Maximum Likelihood
4. Gaussian

۴-۲- فیوژن تصویر

به منظور بهبود قدرت تفکیک مکانی و طیفی تصویر مورد استفاده، این پژوهش از دو مرحله فیوژن تصویر لندست-۸، با استفاده از تصویر سنتینل-۲، بهره گرفته است. در مرحله اول، قدرت تفکیک مکانی تصویر با روش بارزسازی پن‌گرام- اشمیت^۱ بهبود یافت؛ کارایی این روش، برای استخراج تغییرات در ترکیب با روش‌های طبقه‌بندی گوناگون، پیش‌تر به اثبات رسیده است (Rokni, Rokni et al., 2015; Mansourmoghaddam et al., 2022b). روش بارزسازی پن‌گرام- اشمیت یکی از فرایندهای بارزسازی تصویر کیفیت بالاست که کاربرد گسترده‌ای دارد و به همین دلیل شرکت‌هایی، از جمله ESRI و ENVI از این رویکرد در مجموعه محصولات خود بهره برده‌اند (Maurer, 2013). برای بارزسازی تصویر با استفاده از این روش، باندهای طیفی نزدیک به یکدیگر از نظر طول موج در تصاویر ده و سی‌متري با یکدیگر فیوژن (مکانی) شدند. پس از اعمال بارزسازی مکانی روی باندهای تصویر لندست-۸، در مرحله دوم، این تصویر با باندهای طیفی ده‌متري سنتینل-۲ نیز فیوژن شد و بدین ترتیب، هم از نظر مکانی و هم از نظر طیفی، بهبود یافت.

۵-۲- ارزیابی دقت فیوژن

به منظور ارزیابی دقت نتایج فیوژن، تصویر فیوژن شده از نظر مکانی، با درنظر گرفتن سی نقطه مشترک با استفاده از روش خطای ریشه میانگین مربعات RMSE^۲، با تصاویر سنتینل مقایسه شد. روش رویکرد توصیف اعتبارسنجی فضایی است که می‌تواند دقت درون‌بایی فضایی را ارزیابی کند و از این‌نظر، اهمیت دارد (Willmott & Matsuura, 2006).

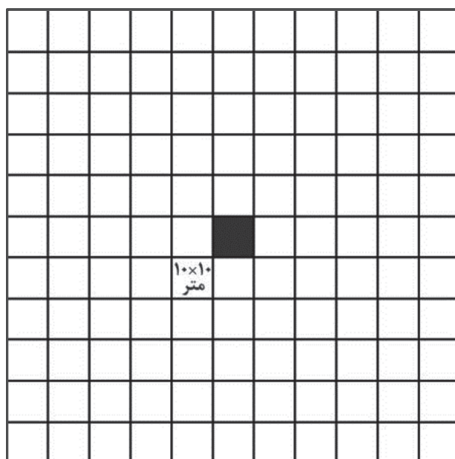
۶-۲- انتخاب و آماده‌سازی ویژگی‌ها و چشم‌اندازهای سطح زمین شهری

پیش‌از مدل‌سازی LST، انتخاب ویژگی‌های لازم برای آموزش مدل و نیز بررسی اثر هر یک از این ویژگی‌ها بر LST ضروری بود. بدین ترتیب ویژگی‌های جغرافیایی

(خطای اختصاص یک پیکسل به کلاس اشتباه) خواهد بود؛ این اندازه‌گیری را دقت کاربر^۴ یا قابلیت اطمینان می‌نامند (Story & Congalton, 1986).

۲-۷- مجاورت پوشش اراضی

به منظور محاسبه اثر مجاورت پیکسل‌های گوناگون شهر یزد با هریک از پوشش‌های اراضی این شهر در آن LST پیکسل، مجاورت برای هر پیکسل، در محدوده ۵۰، ۱۰۰ و ۱۵۰ متری محاسبه شد و با هدف یادگیری مدل و نیز بررسی میزان اهمیت و اثرگذاری آنها به مدل وارد شد. برای درک بهتر، نمای شماتیکی از نحوه محاسبه مجاورت درمورد هر پیکسل مرکزی، برای محدوده ۵۰ متر در شکل ۲ نمایش داده شده است. در این مدل، مجاورت برای هر پیکسل مرکزی، در محدوده ۵۰ متر (پنج پیکسل ۵×۵) در تمامی جهات محاسبه و خروجی آن به مدل نهایی وارد می‌شود. این مجاورت در ابعاد ۱۰۰ متری، با ذهنه پیکسل مجاور و در ابعاد ۱۵۰ متری، با سی پیکسل مجاور نیز محاسبه شد.



شکل ۲. مدل شماتیک از شیوه محاسبه مجاورت برای هر پیکسل در ۵۰ متری منبع: نگارنده

- 1. Kappa Coefficient
- 2. Overall Accuracy
- 3. Producer Accuracy
- 4. User Accuracy

نمونه‌های آموزشی به منظور محاسبه پارامترهای این توزیع به کار رفته است و برای به دست آوردن شباهت برای هر کلاس k ، فرض می‌شود یک توزیع گاوی چندمتغیره با وکتور میانگین μ_k و ماتریس کوواریانس Colditz et al., (2006) (رابطه ۱)).

$$k = \ln(S_k) - [(x_i - \mu_k)^T S_k (x_i - \mu_k)] \quad \text{رابطه ۱)$$

۲-۶-۲- ارزیابی دقت طبقه‌بندی پوشش اراضی به منظور ارزیابی دقت نتایج طبقه‌بندی پوشش اراضی، از ضریب کاپا، دقت کلی، دقت تولیدکننده و دقت کاربر استفاده شد. ضریب کاپا^۱ آزمونی غیرپارامتری برای مشخص کردن میزان سازگاری بین مقادیر واقعی و مقادیر اختصاص یافته از سوی کاربر است (Ishtiaque et al., 2017). کاپا عموماً به منزله شاخصی برای ارزیابی کیفیت اندازه‌گیری مشخصات باینری استفاده می‌شود. هنگامی که سازگاری کامل باشد، مقدار صفر کاپا ۱ (۱۰۰٪) خواهد بود؛ بدان معنی که طبقه‌بندی در هر زمینه‌ای مطابق با واقعیت است. مقدار صفر کاپا نیز بیان می‌کند سازگاری داده‌ها از یک مقدار تصادفی بهتر نیست (Thompson & Walter, 1988).

دقت کلی^۲ عبارت است از حاصل تقسیم تمامی پیکسل‌های طبقه‌بندی شده به صورت صحیح، بر تمامی Story & Congalton (Congalton, 1986). دقت تولیدکننده^۳ از طریق تقسیم ساده تعداد کل پیکسل‌های صحیح در یک کلاس، بر تمامی پیکسل‌های آن کلاس است که از طریق داده‌های Story & Congalton (Story & Congalton, 1986). این آمار بیانگر احتمال طبقه‌بندی شدن یک پیکسل مرجع در کلاس صحیح است و معیاری برای اندازه‌گیری خطای Omission (میزان خطا در اختصاص یک پیکسل به کلاس خود) شمرده می‌شود (Jensen, 1996). چنانچه تمامی پیکسل‌های صحیح در یک طبقه بر مجموع پیکسل‌های موجود طبقه‌بندی شده در آن دسته‌بندی تقسیم شوند، حاصل میزان خطای

۲-۱۲- نقشهٔ شاخص آب تفاضلی نرمال‌شده^۴ بهینه‌شده (MNDWI)

شاخص آب نیز طبق رابطه (۵) محاسبه شد (Xu, 2006) که در آن G بیانگر باند مرئی سبز است.

$$MNDWI = \frac{G-SWIR1}{G+SWIR1}, \quad \text{رابطه (5)}$$

۲-۱۳- مدل شبیه‌سازی پوشش‌های جایگزین پوشش بایر

به منظور کشف اثر زمین‌های بایر از طریق حذف اثر و شبیه‌سازی پوشش جایگزین منطقی (براساس آینده شهر)، برای این زمین‌ها، این پوشش ابتدا در سه مدل متفاوت غیرواقعی از شهر شبیه‌سازی شد: ۱) جایگزینی زمین‌های بایر با مناطق ساخته‌شده (شهری)؛ ۲) جایگزینی زمین‌های بایر با پوشش گیاهی؛ ۳) جایگزینی ۳۰٪ از زمین‌های بایر (برابر با مساحت پوشش گیاهی شهر بزد در سال ۲۰۲۰) با پوشش گیاهی. سپس با محاسبه مجدد همسایگی و مجاورت LST برای این نقشه‌های جدید از پوشش اراضی شهر، برای هر پیکسل از این شبیه‌سازی‌ها، پیش‌بینی و مقایسه شد. برای این کار، مدل یادگیری ماشین به کار رفت.

۲-۱۴- مدل شبیه‌سازی پوشش گیاهی در رویکرد تقسیم زمین و صرفه‌جویی در زمین

به منظور بررسی اثر مدل پراکنش پوشش گیاهی در LST شهر، ابتدا پوشش گیاهی شهر در یک مدل سازی غیرواقعی صفر شد و سپس، در دو رویکرد برنامه‌ریزی زمین شهری، صرفه‌جویی در زمین (پوشش گیاهی با قطعات بزرگ و مترکم) و تقسیم زمین (پوشش گیاهی در ابعاد کوچک و پراکنده) شبیه‌سازی شد. بعد از آن، نتایج حاصل از پیش‌بینی LST در این دو رویکرد، با استفاده از مدل یادگیری ماشین به دست آمد و این نتایج با یکدیگر مقایسه شدند.

- 1. Digital Elevation Model
- 2. Normalized Difference Built-up Index
- 3. Normalized Difference Impervious Surface Index
- 4. Modified Normalized Difference Water Index

۲-۸- داده‌های ارتفاعی

ارتفاع سطح زمین براساس نقشهٔ رقومی دیجیتال شهر بزد با دقت مکانی ۱۰ متر و خطای میانگین $\frac{37}{3}$ متر (RMSE= 0.39) بهمنزلهٔ یک ویژگی مکانی، برای هر پیکسل به دست آمد و در مدل یادگیری ماشین استفاده شد. سپس نقشهٔ درصد شیب با استفاده از تصویر DEM^۱ استخراج شد و بهمنزلهٔ یک ویژگی، در مدل سازی به کار رفت. نقشهٔ جهت شیب برای هر پیکسل نیز از تصویر DEM استخراج و در مدل سازی استفاده شد. خروجی این نقشه درجهٔ شیب است که براساس درجات جغرافیایی و در راستای حرکت عرقه‌های ساعت در نظر گرفته می‌شود.

۲-۹- نقشهٔ شاخص پوشش گیاهی تفاضلی نرمال‌شده

این شاخص با استفاده از رابطه (۲) به دست آمد (Dos Santos et al., 2017; Ziaul & Pal, 2016) که از طریق نسبت بین دو باند فرمز (R) و فروسرخ نزدیک (NIR) محاسبه می‌شود (Avdan & Jovanovska, 2016; Li et al., 2017).

$$NDVI = \left(\frac{NIR-R}{NIR+R} \right), \quad \text{رابطه (2)}$$

۲-۱۰- نقشهٔ شاخص مناطق ساخته‌شده تفاضلی نرمال‌شده (NDBI)^۲

این شاخص از طریق رابطه (۳) محاسبه شد (Mwakapuja et al., 2013) در این رابطه، SWIR بیانگر باند فروسرخ با طول موج کوتاه و NIR بیانگر باند فروسرخ نزدیک است. مقدار این شاخص بین ۱- و +۱ متغیر است.

$$NDBI = \left(\frac{SWIR1-NIR}{SWIR1+NIR} \right), \quad \text{رابطه (3)}$$

۲-۱۱- نقشهٔ شاخص سطوح نفوذناپذیر تفاضلی نرمال‌شده (NDISI)^۳

این شاخص با رابطه (۴) به دست آمد (Xu, 2010) و در آن، WI بیانگر شاخص آب است که طبق رابطه (۵) محاسبه می‌شود.

$$NDISI = \left(\frac{TIR1 - \frac{[WI+NIR+SWIR1]}{3}}{TIR1 + \frac{[WI+NIR+SWIR1]}{3}} \right), \quad \text{رابطه (4)}$$

گسیل‌مندی، از رابطه (۹) استفاده می‌شود که در آن، Avdan & Jovanovska (۱۰) است (PV مطابق رابطه (۱۰) است)
 .(2016; Dos Santos et al., 2017; Ziaul & Pal, 2016
 $e = 0/004 * PV + 0.986$, رابطه (۹)

$$PV = ((NDVI - NDVI_{min}) / (NDVI_{max} - NDVI_{min}))^2, \quad \text{رابطه (۱۰)}$$

۲-۱۶- انتخاب مدل بهینه با استفاده از زبان R و انجامدادن مدل‌سازی

به‌منظور انتخاب بهینه‌ترین مدل، از تابع AutoML در RStudio که مدل مناسب را با استفاده از اعتبارسنجی متقابل انتخاب می‌کند، در محیط برنامه‌نویسی استفاده شد. بدین‌منظور، ۸۵٪ از داده‌ها به صورت داده‌های آموزشی استفاده شدند. سپس برای مدل‌سازی، مدل گرadiان بوسینگ^۳ به منزله بهینه‌ترین مدل به کار رفت. اعتبارسنجی عملکرد مدل یادگیری ماشین در پیش‌بینی LST با استفاده از معیارهای MSE^۴، MAE^۵ و RMSLE^۶ و RMSE^۷ از داده‌های آزمون انجام شد. مراحل کلی پژوهش در شکل ۳ نشان داده شده است.

۳- بحث و نتایج

۳-۱- نتایج فیوژن تصویر

مقایسه دقت طبقه‌بندی روی تصاویر نشان داد پس از انجام‌شدن فیوژن، دقت کلی طبقه‌بندی تصاویر از ۷۷/۹ و ۸۲/۴٪ در تصاویر لندست-۸ و سنتینل-۲، ابتداء با انجام‌دادن فیوژن مکانی، به ۸۴/۶٪ و سپس با فیوژن مکانی-طیفی، به ۸۸/۶٪ افزایش یافته است.

-
1. Raw Data
 2. Product
 3. Gradient Boosting
 4. Mean Square Error
 5. Root Mean Squared Log Error
 6. Mean Absolute Error

۲-۱۵- تهیه نقشه دمای سطح زمین (LST)

برای محاسبه LST، ابتدا تصویر باند ۱۰ (حرارتی) لندست-۸ از حالت خام^۱ به رادیانس طیفی تبدیل شد.(LANDSAT 8 Data Users Handbook, 2015) به‌دلیل وجود داشتن عدم قطعیت در دیگر باند حرارتی (باند ۱۱) لندست (USGS, 2014)، این باند در محاسبات آورده نشد (رابطه (۶)).

$$L_\varphi = M_L * Q_{Cal} + A_L, \quad \text{رابطه (۶)}$$

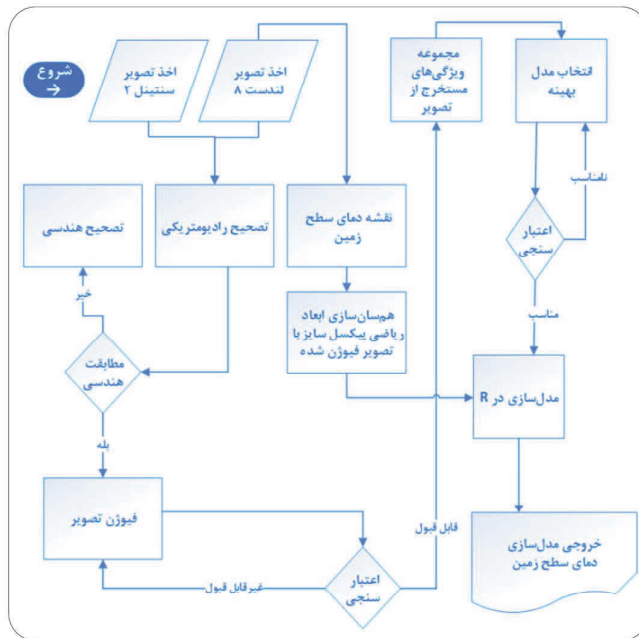
L_φ بیانگر تابش طیفی بالای اتمسفر (وات بر مترمربع بر استر رادیان)، M_L بیانگر ضربه هم‌مقیاس‌سازی باندها براساس متادیتای تصویر، Q_{Cal} مقادیر پیکسل کالیبره شده (عدد رقومی) در محصول^۲ استاندارد و A_L فاکتور هم‌مقیاس‌سازی افزایشی براساس باندهای مشخص شده در متادیتای تصویر است. پس از آن دمای روشنایی سنجنده از طریق رابطه (۷) به‌دست می‌آید (Avdan & Jovanovska, 2016; Ziaul & Pal, 2016).

$$\tau = \left[\frac{K_2}{\ln\left(\frac{K_1}{L_\varphi} + 1\right)} \right], \quad \text{رابطه (۷)}$$

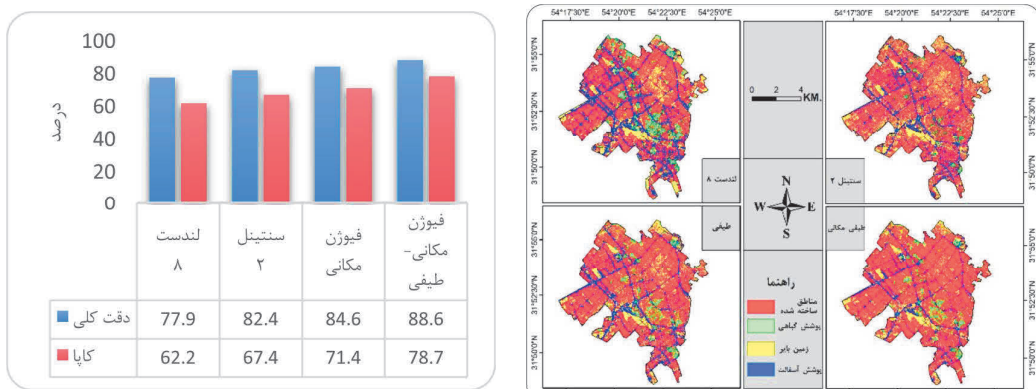
τ دمای روشنایی بالای اتمسفر به کلوین، L_φ تابش بالای اتمسفری (وات بر مترمربع بر استر رادیان) و K_1 و K_2 ضرایب ثابت کالیبراسیون باند حرارتی است که برای سنجنده TIRS لندست-۸ براساس متادیتای تصویر، به ترتیب ۷۷۴/۸ و ۱۳۲۱/۰ است. پس از محاسبه دمای روشنایی بالای اتمسفر، با کسر تصویر از عدد می‌شود و در نهایت، LST از رابطه (۸) به‌دست می‌آید (Avdan & Jovanovska, 2016; Ziaul & Pal, 2016)

$$LST = \tau / [1 + \left(\lambda * \frac{\tau}{C_2} \right) * \ln(e)], \quad \text{رابطه (۸)}$$

τ دمای روشنایی بالای اتمسفر، λ طول موج باند حرارتی ($10/9 \mu\text{m}$) برای باند ۱۰ لندست-۸ و C_2 عدد ثابت $14388 \mu\text{m}$ است. همچنین به‌منظور محاسبه



شکل ۳. فلوچارت و مراحل کلی پژوهش



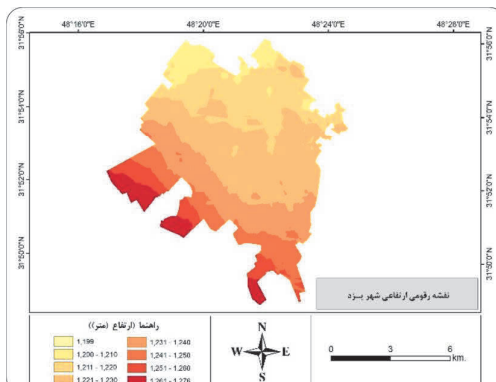
شکل ۴. مقایسه دقت کلی و ضریب کاپای طبقه‌بندی، قبل و بعد از فیوزن مکانی و مکانی- طیفی تصویر

۳-۲- نتایج محاسبه پارامترهای سطح زمین
 به منظور ورود داده LST شرایط موجود به مدل نقشه LST شهر یزد متعلق به سال ۲۰۲۰، با استفاده از تصویر لندست-۸ به دست آمد. بیشترین و کمترین LST بدست آمده از شهر یزد، به ترتیب، عبارت‌اند از 45°C و 32°C و میانگین 38.2°C محاسبه شده است (شکل ۵-الف-۱). نقشه طبقه‌بندی پوشش اراضی شهر یزد با استفاده از الگوریتم

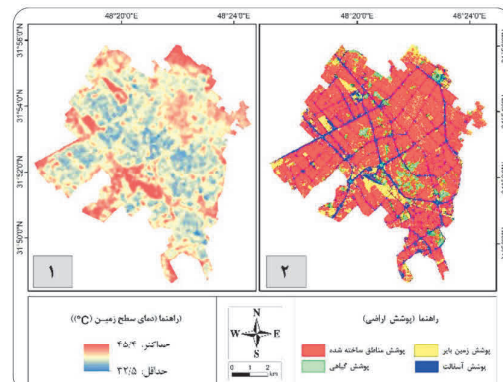
ضریب کاپا نیز از $62/2$ در تصویر لندست-۸ و $67/4$ در تصویر سنتمیل-۲، پس از فیوزن مکانی و طیفی- مکانی، به ترتیب به $71/4$ و $78/7$ افزایش یافته است (شکل ۴). این افزایش دقت، توجیهی مناسب برای استفاده از تصویر سنتمیل-۲، به منظور ریز-مقیاس‌سازی و فیوزن باندهای طیفی تصویر لندست-۸ و استفاده از تصویر حاصل در فرایند مدل‌سازی است.

شهر یزد دارای اختلاف ارتفاعی نزدیک به ۷۷ متر است و ارتفاع این شهر، از جهت‌های شمال و شمال‌شرق به جنوب و جنوب‌غرب، افزایش می‌یابد. شکل ۵-ج-۱ که براساس ۱/۲ انحراف معیار پراکنش داده‌های شبیه شهر یزد رنگ‌بندی شده است، میزان شبیه هر پیکسل از شهر را به درصد بیان می‌کند. میانگین شبیه شهر ۱/۲۱٪ است و بدین ترتیب تقریباً ۹۹/۷٪ از شبیه شهر یزد در محدوده بین ۰ تا ۶/۹٪ قرار دارد؛ به طوری که از این ۹۹/۷٪، شبیه ۰ تا ۳/۲٪ و شبیه ۵/۸ تا ۶/۸٪ شبیه ۴/۳٪ از شبیه کل شهر را شامل می‌شود و باقی شهر (۰/۰٪) شبیب برابر با ۶/۹ تا ۲۱٪

حداکثر احتمال و از تصویر فیوژن شده مکانی-طیفی، با دقت مکانی ۵۰ متر برای سال ۲۰۲۰ استخراج شد. بدین ترتیب، براساس نتایج، پوشش اراضی این شهر در چهار دستهٔ مناطق ساخته شده با ۴۹/۷ کیلومترمربع، پوشش گیاهی با ۴/۳ کیلومترمربع، زمین‌های بایر با ۱۳/۸ کیلومترمربع و پوشش آسفالت با ۱۲/۳ کیلومترمربع طبقه‌بندی شد (شکل ۵-الف-۲). نقشهٔ رقومی ارتفاعی شهر یزد نیز، به منزلهٔ یکی از ویژگی‌های مکانی با دقت مکانی ۱۰ متر و میانگین ارتفاعی ۱۲۲۸ متر، استخراج شد (شکل ۵-ب). مطابق این شکل، بلندترین (۱۲۷۶ متر) و پست‌ترین (۱۱۹۹ متر) نقاط

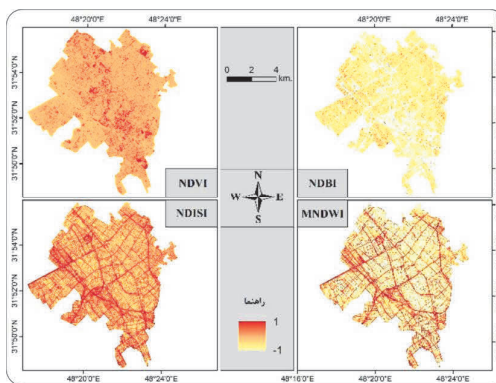


ب) نقشهٔ رقومی ارتفاعی

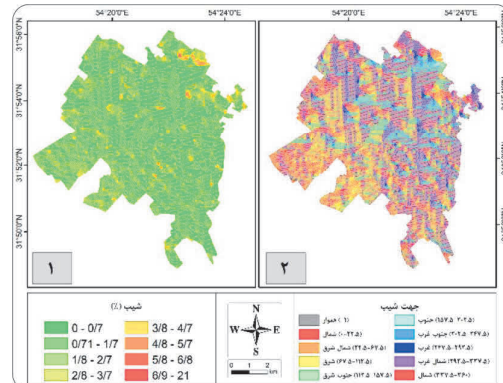


الف-۱) نقشهٔ دمای سطح زمین

الف-۲) نقشهٔ پوشش اراضی



د) نقشهٔ شاخص‌های سطح زمین



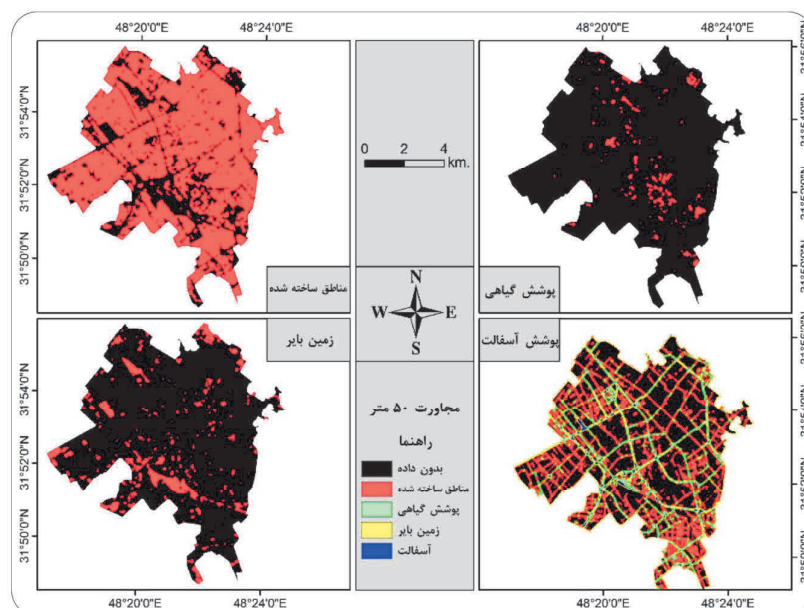
ج-۱) نقشهٔ درصد شبیب

ج-۲) نقشهٔ جهت شبیب

شکل ۵. نقشهٔ ویژگی‌های محاسبه شده سطح زمین شهر یزد، متعلق به سال ۲۰۲۰

مناطق خشک و نواحی مناطق دارای مقدار نزدیک به ۱ نیز که اغلب بر مناطق دارای پوشش گیاهی شهر یزد منطبق‌اند، نشان‌دهنده نواحی مرطوب‌ترند (شکل ۵). پس از محاسبه نقشه طبقه‌بندی پوشش اراضی شهر یزد، عامل مجاورت به‌ازای هر پیکسل از پوشش‌های متفاوت در شعاع ۵۰ (شکل ۶)، ۱۰۰ (شکل ۷) و ۱۵۰ (شکل ۸) متری به‌دست آمد. دامنه مجاورت محاسبه‌شده برای هر پارامتر بین ۰ تا ۱ است؛ عدد ۰ نشان می‌دهد هیچ همسایگی‌ای با پیکسل مرکزی وجود ندارد و عدد ۱ بیان می‌کند تمامی پیکسل‌های موجود در کرنل، دارای مقدار همسایگی با پیکسل مرکزی‌اند. نکته شایان توجه در تصاویر مجاورت، مساحت زیر پوشش مجاورت زمین‌های بایر در قیاس با پوشش گیاهی در تمامی نقشه‌های مجاورت است که با توجه به مقایسه مساحت این دو پوشش (به ترتیب، ۴/۳ کیلومترمربع و ۱۳/۸ کیلومترمربع)، توجیه‌پذیر است. کاهش حداکثر مجاورت، با افزایش شعاع، بیانگر کاهش پیکسل‌های مجاورت و درنتیجه، محوشدن نسبی آن پدیده است. بدین ترتیب حداکثر مجاورت با پوشش گیاهی، به‌منزله عامل خنک‌کننده در شعاع مجاورت

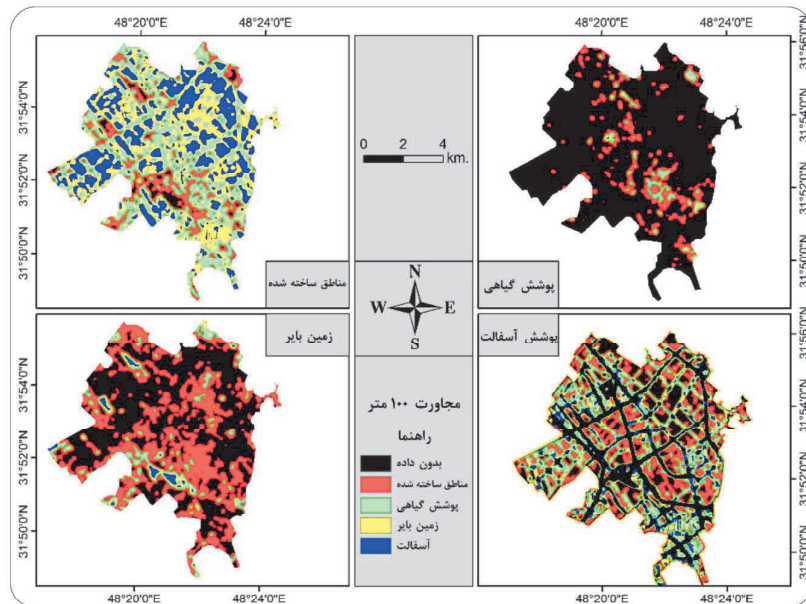
دارد (شکل ۵-ج-۱). نقشه جهت شیب شهر یزد نیز در شکل ۵-ج-۲ نمایش داده است. حدود ۶۸/۴٪ از شهر جهت شیب ۱-درجه (هموار) تا ۱۲۰ درجه (جنوب‌شرق) دارد. جهت شیب نزدیک به ۲/۲۲٪ از شهر ۱۲۰ درجه تا ۲۰۲ درجه (جنوبی) است. ۰/۴۳٪ شهر جهت شیب ۲۰۲ تا ۲۸۹ (غربی) و ۰/۳٪ شهر جهت شیب شمال‌غرب و شمالی دارد. با این تفاسیر، حدود ۹۵/۴٪ شهر دارای جهت شیب شمالی تا جنوبی ۰° تا ۲۰۲° است. شاخص‌های پوشش گیاهی، نفوذناپذیری، مناطق ساخته‌شده و نیز آب برای سطح شهر یزد محاسبه و در شکل ۵-د نمایش داده شده است. در شاخص NDVI، مناطق دارای مقدار نزدیک‌تر به ۱، پوشش گیاهی و مناطق دارای مقدار نزدیک به ۱-زمین لخت است. در شاخص NDISI، مناطق دارای مقدار نزدیک به ۱-بیانگر سطوح نفوذناپذیرتر و مناطق با مقدار نزدیک به ۱-بیانگر سطوح نفوذناپذیرتر است. در شاخص NDBI، مناطق دارای مقدار نزدیک ۱ به نواحی ساخته‌شده و مناطق دارای مقدار نزدیک ۱-به نواحی ساخته‌نشده اشاره دارد. در تصویر شاخص MNDWI، مناطق دارای مقدار نزدیک به ۱-بیانگر



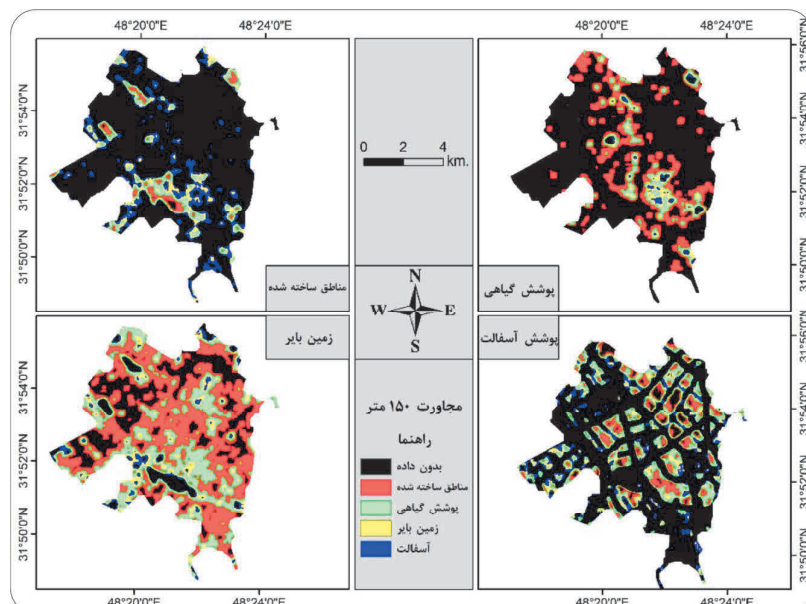
شکل ۶. ضرایب مجاورت پوشش‌های گوناگون اراضی شهر یزد در فاصله ۵۰-۱۵۰ متری

مجاورت ۱۰۰ متر، بدون تغییر (شکل ۷) و در شعاع
مجاورت ۱۵۰ متر، بهمیزان ۰/۲ کاهش یافته است
(شکل ۸).

۱۰۰ متری، بهمیزان ۰/۲ (شکل ۷) و در شعاع مجاورت
۱۵۰ متری، بهمیزان ۰/۳ کاهش یافته است (شکل ۸)؛
در حالی که حداکثر مجاورت زمین‌های بایر، در شعاع



شکل ۷. ضرایب مجاورت پوشش‌های گوناگون اراضی شهر بزد در فاصله ۱۰۰ متری



شکل ۸. ضرایب مجاورت پوشش‌های گوناگون اراضی شهر بزد در فاصله ۱۵۰ متری

۳-۳- نتایج انتخاب مدل بهینه

میانگین مربع خطای مربع خطای (به ترتیب $0/304$ و $0/552$)، کمترین مقدار خطای کمترین میزان جذر میانگین لگاریتمی مربعات (RMSLE) با $0/13$ و کمترین میزان خطای مطلق میانگین (MAE) با $0/385$ ، بهمنزله «مدل بهینه» (در مقایسه با مدل‌های ارزیابی شده) برای برازش^۲ تحلیل‌های بعدی، انتخاب شد (جدول ۲).

نتایج حاصل از بررسی بهینه‌ترین^۱ مدل براساس داده‌های ورودی، حاکی از آن است که بین مدل‌های ارزیابی شده، الگوریتم گرادیان بوستینگ بهینه‌ترین الگوریتم برای مدل‌سازی است. از بین پارامترهای این GBM_grid_1_ GBM_grid_1_AutoML_20210805_143336_model_3 کمترین میزان از میانگین مربع خطای (MSE) و ریشهٔ

جدول ۲. میزان خطای مدل‌های آزمایش شده براساس معیارهای آماری گوناگون

MAE	RMSLE	RMSE	MSE	مدل
0/381	0/014	0/549	0/301	GBM_grid_1_AutoML_20210805_143336_model_3
0/417	0/015	0/588	0/346	GBM_grid_1_AutoML_20210805_143336_model_2
0/445	0/016	0/614	0/377	GBM_5_AutoML_20210805_143336
0/484	0/017	0/661	0/436	GBM_4_AutoML_20210805_143336
0/541	0/018	0/723	0/523	GBM_3_AutoML_20210805_143336
0/548	0/019	0/730	0/533	GBM_grid_1_AutoML_20210805_143336_model_4
0/570	0/019	0/755	0/570	GBM_2_AutoML_20210805_143336
0/586	0/020	0/775	0/601	GBM_grid_1_AutoML_20210805_143336_model_5
0/593	0/020	0/782	0/612	GBM_1_AutoML_20210805_143336
0/625	0/020	0/794	0/631	StackedEnsemble_BestOfFamily_AutoML_20210805_143336
0/625	0/020	0/794	0/631	StackedEnsemble_AllModels_AutoML_20210805_143336
0/634	0/021	0/832	0/692	GBM_grid_1_AutoML_20210805_143336_model_1
0/739	0/024	0/939	0/882	GBM_grid_1_AutoML_20210805_143336_model_6
0/718	0/024	0/940	0/884	DeepLearning_1_AutoML_20210805_143336
0/740	0/024	0/958	0/918	DeepLearning_grid_1_AutoML_20210805_143336_model_2
0/773	0/025	0/997	0/994	DeepLearning_grid_3_AutoML_20210805_143336_model_2
0/788	0/026	1/033	1/067	DeepLearning_grid_1_AutoML_20210805_143336_model_1
0/928	0/030	1/210	1/464	GLM_1_AutoML_20210805_143336
0/603	0/035	1/370	1/876	DRF_1_AutoML_20210805_143336
1/131	0/035	1/397	1/951	DeepLearning_grid_2_AutoML_20210805_143336_model_1

1. The Fittest
2. Tuning

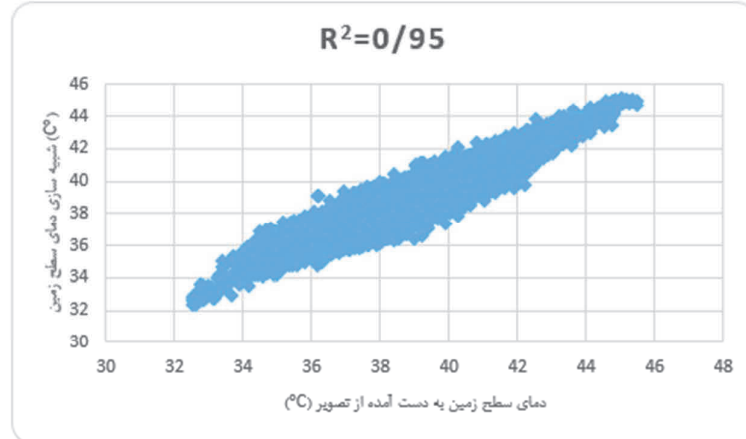
۳-۴- نتایج مدل‌سازی

پس از آماده‌سازی و بررسی داده‌ها و نیز اعتبارسنجی مدل مورد استفاده، بررسی اثر و اهمیت هر ویژگی در مدل‌سازی بهمنزله قسمت نخست بخش اصلی کار، بررسی می‌شود. این بخش یکی از خروجی‌های مهم مدل‌های غیرخطی است که فهرستی از پارامترها را به همراه درصد اهمیت آن پارامتر، بیان می‌کند. بدین طریق ابتدا، بهمنظور بررسی وضعیت فعلی شهر، با استفاده از مدل گردایان بوستینگ، اثر و اهمیت تمامی پارامترهای محاسبه شده شهری در LST مدل شده و خروجی نهایی پارامترها و اهمیت آنها در جدول ۴ آمده است.

نتایج آزمودن عملکرد بهینه‌ترین مدل گردایان بوستینگ، به‌منظور پیش‌بینی ۱۵٪ داده‌های آزمون براساس یادگیری از ۸۵٪ دیگر از داده‌های واقعی و نیز مقایسه اعتبارسنجی آن با یک مدل معمولی گردایان بوستینگ و یک مدل رگرسیون خطی، در جدول ۳ نمایش داده شده است. نتایج حاصل براساس پیش‌بینی نمایش داده شده است. نتایج حاصل براساس پیش‌بینی ۱۵٪ از داده‌ها (LST) با یادگیری از ۸۵٪ داده‌های واقعی LST و دیگر پارامترهای ورودی به‌دست آمد. میانگین LST، در مدل پیش‌بینی شده، برابر با $38/222^{\circ}\text{C}$ و در داده‌های اصلی، $38/224^{\circ}\text{C}$ بوده است. نمودار پراکنش مقادیر LST برای مدل تست واقعی با ضریب $R^2=0.95$ و ضریب همبستگی درصدی، بین داده آزمایش و واقعی، بیانگر دقت بالای مدل و مطمئن‌بودن نتایج آن است (شکل ۹).

جدول ۳. اعتبارسنجی عملکرد پیش‌بینی مدل بهینه گردایان بوستینگ، به همراه مقایسه آن با مدل معمولی گردایان بوستینگ و مدل رگرسیون خطی

شاخص	مدل بهینه گردایان بوستینگ	مدل معمولی گردایان بوستینگ	مدل رگرسیون خطی (GLM) ^۱	مدل بهینه گردایان بوستینگ
MSE	0/304	0/967	1/468	0/967
RMSE	0/552	0/835	1/212	0/835
RMSLE	0/013	0/016	0/030	0/016
MAE	0/385	0/476	0/928	0/476



شکل ۹. نمودار پراکنش مقایسه LST در داده واقعی و پیش‌بینی به‌منظور ارزیابی دقت

جدول ۴. جدول خروجی اهمیت پارامترهای شهری در LST شهر بیزد

ردیف	متغیر (ویژگی)	اهمیت مقیاس شده	درصد اهمیت
۱	پوشش زمین با بر در مجاورت ۱۰۰ متر	1/000	53/988
۲	پوشش زمین با بر در مجاورت ۵۰ متر	0/185	10/014
۳	پوشش زمین با بر در مجاورت ۱۵۰ متر	0/177	9/539
۴	ارتفاع	0/117	6/321
۵	پوشش آسفالت در مجاورت ۱۰۰ متر	0/078	4/230
۶	پوشش گیاهی در مجاورت ۱۵۰ متر	0/071	3/829
۷	پوشش گیاهی در مجاورت ۱۰۰ متر	0/042	2/254
۸	پوشش گیاهی در مجاورت ۵۰ متر	0/037	1/973
۹	پوشش آسفالت در مجاورت ۵۰ متر	0/036	1/939
۱۰	پوشش مناطق ساخته شده در مجاورت ۵۰ متر	0/027	1/445
۱۱	پوشش آسفالت در مجاورت ۱۵۰ متر	0/023	1/251
۱۲	مقادیر شاخص NDVI	0/021	1.142
۱۳	پوشش مناطق ساخته شده در مجاورت ۱۵۰ متر	0/016	0/856
۱۴	پوشش مناطق ساخته شده در مجاورت ۱۰۰ متر	0/008	0/434
۱۵	پوشش زمین با بر	0/005	0/291
۱۶	مقادیر شاخص NDBI	0/004	0/232
۱۷	پوشش مناطق ساخته شده	0/004	0/196
۱۸	جهت شیب	0/001	0/038
۱۹	مقادیر شاخص NDISI	0	0/014
۲۰	پوشش گیاهی	0	0/010
۲۱	درصد شیب	0	0/004
۲۲	مقادیر شاخص MNDWI	0	0/002
۲۳	پوشش آسفالت	0	0

جدول ۵. پارامترهای انتخاب شده به منظور یادگیری ماشین برای پیش‌بینی LST روی مدل‌های شبیه‌سازی شده

متغیر (ویژگی)
پوشش زمین با بر در مجاورت ۱۰۰ متر
پوشش زمین با بر در مجاورت ۵۰ متر
پوشش زمین با بر در مجاورت ۱۵۰ متر
ارتفاع
پوشش گیاهی در مجاورت ۱۵۰ متر
پوشش گیاهی در مجاورت ۱۰۰ متر
پوشش گیاهی در مجاورت ۵۰ متر
پوشش مناطق ساخته شده در مجاورت ۵۰ متر
پوشش مناطق ساخته شده در مجاورت ۱۵۰ متر
پوشش مناطق ساخته شده در مجاورت ۱۰۰ متر
کلاس پوشش زمین با بر
پوشش مناطق ساخته شده
جهت شیب
کلاس پوشش گیاهی
درصد شیب

۵-۳- نتایج شبیه‌سازی پوشش اراضی

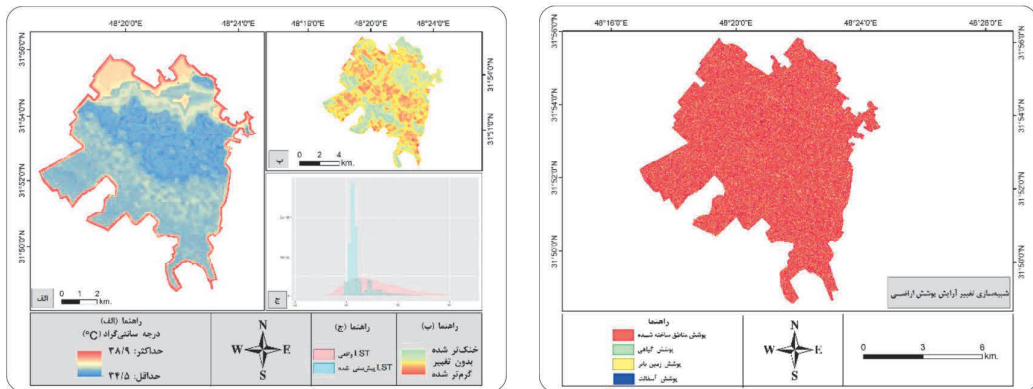
به منظور بررسی نتایج پیش‌بینی مدل‌های شبیه‌سازی شده از شهر بیزد با استفاده از مدل گرادیان بوسنینگ، فرایند یادگیری ماشین به دلیل الزام به حذف برخی پارامترهایوابسته به شرایط موجود، بار دیگر اجرا شد. بدین‌منظور، ابتدا پارامترهای وابسته به نوع پوشش سطح زمین از دیتا فریم حذف شد و فقط پارامترهای ثابت به فرایند یادگیری ماشین وارد شد. همچنین به دلیل رعایت نسبت ریاضی کمتر از ۱۰۰، از بین پارامترهای مربوط به مجاورت، یک پارامتر می‌باشد حذف می‌شد که مجاورت پوشش آسفالت از پارامترهای ورودی حذف شد. فهرست پارامترهای نهایی ورودی به مدل یادگیری ماشین در جدول ۵ نمایش داده شده است.

چشمگیر LST است؛ به طوری که پس از شبیه‌سازی، مد هیستوگرام از حدود 37°C به نزدیک 36°C رسیده است و پیکسل‌ها، برخلاف LST بدست آمده از تصویر، در محدوده کوچک اطراف مد پراکنده شده‌اند. این مسئله خنکترشدن پیکسل‌ها در شبیه‌سازی تغییر آرایش پوشش اراضی شهر یزد را نشان می‌دهد (شکل ۱۰-چپ (ج)). میانگین LST در این شبیه‌سازی، با 36.61°C کاهش، به 36.16°C تغییر یافته است. این کاهش احتمالاً به دلیل پراکنده شدن زمین‌های بایر در سطح شهر و نیز مجاورت بیشتر کلاس‌های پوشش گیاهی (بهمنزله خنکترین کلاس) و مناطق ساخته شده (با LST خنکتر)، در قیاس با پوشش تصادفی و پراکنده زمین‌های بایر در سراسر شهر است. مقایسه LST پیش‌بینی شده در این شبیه‌سازی، با LST به دست آمده از تصویر، بیان می‌کند میانگین LST در تمامی کلاس‌ها کاهش یافته و تقریباً برابر شده‌اند. در مورد زمین‌های بایر (در جایگاه اثربخش‌ترین کلاس پوشش اراضی، چنانکه در بخش‌های قبل بررسی شد)، به دلیل کاهش تراکم و نزدیکتر قرار گرفتن به پیکسل‌های مناطق ساخته شده و کلاس پوشش گیاهی (در قیاس با مدل اصلی شهر)، کاهش دمای شدیدی پیش‌بینی شده است. این نکته اثر پوشش اراضی و مجاورت آن و نیز تغییر آرایش پوشش اراضی در LST را به خوبی نشان می‌دهد. اثربداری آرایش چشم‌اندازهای شهری در دمای سطح زمین، در پژوهش آذبورن و آوارس-سانچس (۲۰۱۹) نیز، اثبات شده است.

نقشه LST پیش‌بینی شده پس از شبیه‌سازی زمین‌های بایر به مناطق ساخته شده، همراه با نقشه تغییرات و هیستوگرام آن، در شکل ۱۱ نمایش داده شده است. با توجه به نقشه تغییرات LST پیش‌بینی شده در قیاس با LST برآورده شده از تصویر حرارتی شهر یزد، این شبیه‌سازی توانسته است سبب

بدین ترتیب ابتدا، به منظور بررسی میزان اثربازی LST از تغییر آرایش پوشش اراضی شهر، نقشه پوشش اراضی شهر به صورت کنترل شده (حفظ مساحت هر کلاس) و تصادفی، کاملاً تغییر آرایش یافت؛ درنتیجه هریک از پیکسل‌های پوشش اراضی، علاوه بر مکان جدید، دارای مقادیر جدیدی از مجاورت پوشش اراضی شد (شکل ۱۰-راست). نقشه LST پیش‌بینی شده پس از این شبیه‌سازی، همراه با نقشه تغییرات و هیستوگرام آن، در شکل ۱۰-چپ-ج نمایش داده شده است. نقشه پیش‌بینی شده LST کاهش در تمامی شهر را به جز مناطق شمالی آن، به خوبی بیان می‌کند (شکل ۱۰-چپ (الف)). با توجه به نقشه ارتفاعی شهر یزد، این مناطق منطبق بر پست‌ترین مناطق شهر مذکورند (شکل ۵-ب). این نکته این ادعای اثبات می‌کند که عامل ارتفاع در شهر یزد رابطه منفی با LST دارد. ارتباط منفی بین دمای سطح زمین و عامل ارتفاع پیش‌تر نیز، در پژوهش پنگ و همکاران (۲۰۲۰)، تأیید شده بود و با نتایج این پژوهش مطابقت دارد. بررسی تغییرات LST (شکل ۱۰-چپ (ب)) نیز بیان می‌کند، با توجه به نقشه پوشش اراضی شهر یزد (شکل ۵-الف)، تغییرات LST به سمت خنکترشدن در زمین‌های بایر و اطراف آنها بیشتر مشهود است. این مسئله احتمالاً اثبات می‌کند، پس از به هم ریختگی شهر، کاهش تراکم زمین‌های بایر و مجاورت آنها با پیکسل‌های دیگر، به ویژه پیکسل‌های مناطق شهری که LST کمتر از زمین‌های بایر داشتند، سبب کاهش میانگین LST در این شبیه‌سازی شده است؛ در حالی که مناطق گرم‌ترشده اغلب به کلاس‌های پوشش گیاهی و مناطق ساخته شده تعلق دارند و مجاورت با زمین‌های بایر پراکنده در سطح شهر سبب تغییر و افزایش دمای این مناطق شده است. اثربداری بسیار زیاد زمین‌های بایر در دمای سطح زمین پیش‌تر در پژوهش گوها و گویل^۱ (۲۰۲۱) نیز به اثبات رسیده بود که با نتایج پژوهش حاضر هم خوانی دارد. هیستوگرام تغییرات LST براساس این مدل نیز بیانگر خنکترشدن

1. Guha & Govil

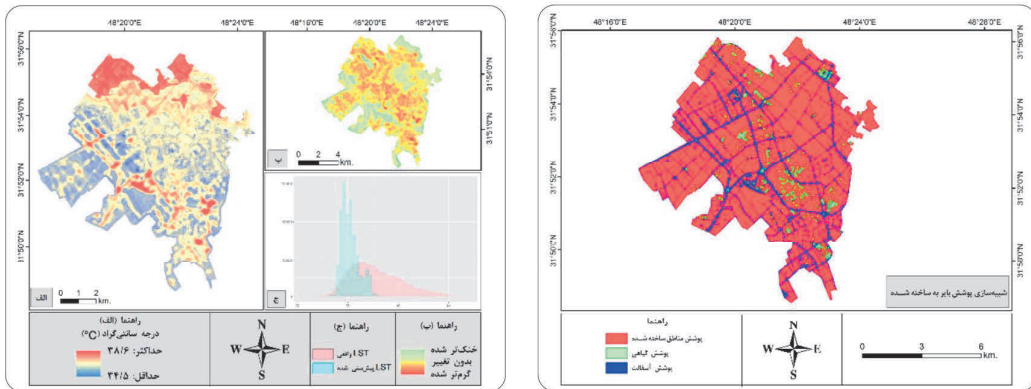


شکل ۱۰. راست: نقشه شبیه‌سازی تغییر آرایش پوشش اراضی شهر بزد به صورت تصادفی؛ چپ: نقشه LST برآورده شده در شبیه‌سازی (الف)، نقشه تغییرات LST پس از شبیه‌سازی (ب)، هیستوگرام تغییرات (ج)

باشد. این میانگین LST در پوشش گیاهی، با 115°C اختلاف، به $36/55$ کاهش یافته که احتمال دارد به علت حذف اثر مجاورت زمین‌های بایر و جایگزینی آنها با کلاسی دارای میانگین نزدیک LST به کلاس پوشش گیاهی، یعنی پوشش مناطق ساخته شده، باشد. در همین‌روز، پوشش آسفالت نیز با 16°C اختلاف، به $37/89$ افزایش یافته است. از آنجاکه آسفالت بیشتر در مجاورت مناطق ساخته شده قرار دارد و نیز با درنظر گرفتن اینکه افزایش میانگین LST در پوشش آسفالت تقریباً یک‌سوم افزایش آن در پوشش مناطق ساخته شده است، احتمال دارد این افزایش در مناطق LST ساخته شده، به دلایل ذکر شده، در میانگین LST پوشش‌های آسفالت نیز اثر گذاشته باشد. الکافی^۱ و همکاران (۲۰۲۱) بین LST و مناطق ساخته شده ارتباط مثبتی نشان دادند که با نتایج پژوهش حاضر هم‌خوانی ندارد زیرا پژوهش یادشده مناطق ساخته شده را منفک از اراضی بایر بررسی نکرده است. علاوه بر آن، پژوهش حاضر LST را نسبی مدل کرده؛ بدین مفهوم که ارتباط منفی مناطق ساخته شده و LST ناشی از حذف اثر افزاینده اراضی بایر است که بیشتر از مناطق ساخته شده در اثر گذارند.

1. AlKafy

کاهش محسوس LST در زمین‌های بایر شود (شکل ۱۱- چپ (ب)). هیستوگرام نقشه LST پیش‌بینی شده همچنین کاهش LST را تأیید می‌کند زیرا چولگی بیشتر داده‌ها، در هیستوگرام پیش‌بینی، به سمت راست و تغییر مدد داده‌ها نیز به سمت چپ بوده است. در این هیستوگرام، پراکنش دیتاهای 32°C تا 44°C در داده‌های اصلی به 34°C تا 38°C رسیده است. مدد هیستوگرام نیز بیشترین فراوانی را در داده پیش‌بینی تقریباً 35°C نشان می‌دهد؛ در حالی که مدد در داده اصلی تقریباً 37°C بوده است (شکل ۱۱- چپ (ج)). میانگین LST برای کل شهر، با 11°C کاهش به نسبت شهر اصلی، به $14/37^{\circ}\text{C}$ رسیده است. چه بسا دلیل آن پایین‌ترین میانگین LST در پوشش مناطق ساخته شده (به علت وجود عوامل متعادل کننده‌ای مانند پوشش گیاهی، خنک‌کننده‌های تابستانی، ایزوگام سقف‌ها) در مقایسه با زمین‌های بایر، از یک‌سو و از سوی دیگر حذف اثر زیاد پوشش بایر در LST، با توجه به برآوردهای غیرخطی مدل یادگیری ماشین باشد. میانگین LST به تفکیک کلاس نیز در کلاس مناطق ساخته شده به نسبت شهر اصلی، با $56/0^{\circ}\text{C}$ اختلاف، به $32/38^{\circ}\text{C}$ افزایش یافته است. این افزایش ممکن است به دلیل نقش اثرگذار ارتفاع (به منزله چهارمین پارامتر مؤثر) و نبودِ عوامل متعادل کننده LST در شبیه‌سازی

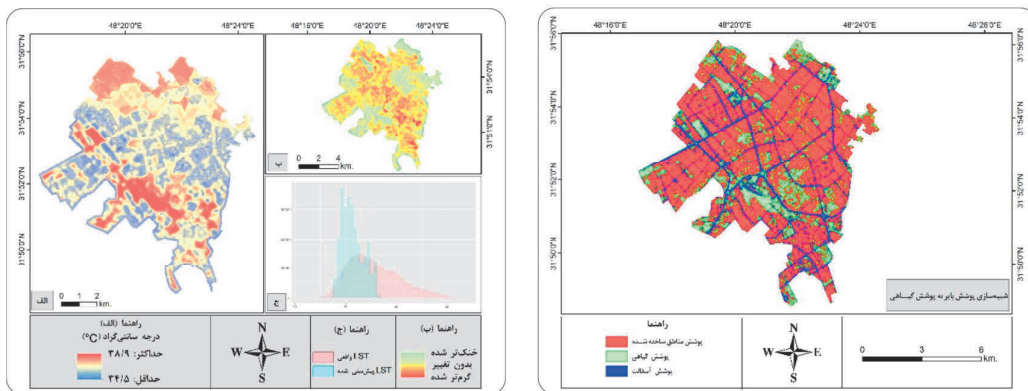


شکل ۱۱. راست: نقشه شبیه‌سازی تغییر پوشش اراضی بایر به مناطق ساخته شده؛ چپ: نقشه LST برآورده شده در شبیه‌سازی (الف)، نقشه تغییرات LST پساز شبیه‌سازی (ب)، هیستوگرام تغییرات (ج)

میانگین دما که تقریباً دو برابر کاهش در شبیه‌سازی به پوشش مناطق ساخته شده است، تأثیر پوشش گیاهی در کاهش LST و نیز توجه به اهمیت این پوشش در کاهش LST را برای مدل به خوبی نشان می‌دهد. میانگین LST به تفکیک کلاس نیز به نسبت شهر اصلی، در کلاس مناطق ساخته شده، با $1/42^{\circ}\text{C}$ کاهش، به $36/34^{\circ}\text{C}$ رسیده است و در کلاس پوشش گیاهی، با $1/68^{\circ}\text{C}$ افت به $36/02^{\circ}\text{C}$ و در کلاس آسفالت، با $1/23^{\circ}\text{C}$ کاهش به $36/5^{\circ}\text{C}$ رسیده است. نزدیک بودن مقدار تغییر میانگین دما در هریک از کلاس‌های پوشش اراضی بیانگر اثر مهم پوشش گیاهی در LST در تمامی کلاس‌های است؛ چراکه حذف اثر زمین‌های بایر در LST از یکسو و از سوی دیگر، جایگزینی آن با کلاس پوشش گیاهی که علاوه‌بر داشتن خنکترین میانگین LST، خود، به دلیل عواملی همچون تبخیر و سایه و نیاز به آبیاری، نقش خنک‌کنندگی دارد، این امکان را فراهم کرده است که میانگین دما در همه کلاس‌ها به مقدار 1°C کاهش یابد.

نقشه LST پیش‌بینی شده در شبیه‌سازی $30^{\circ}/3^{\circ}$ از اراضی بایر به پوشش گیاهی، به همراه نقشه تغییرات و هیستوگرام آن، در شکل ۱۳ نمایش داده شده است.

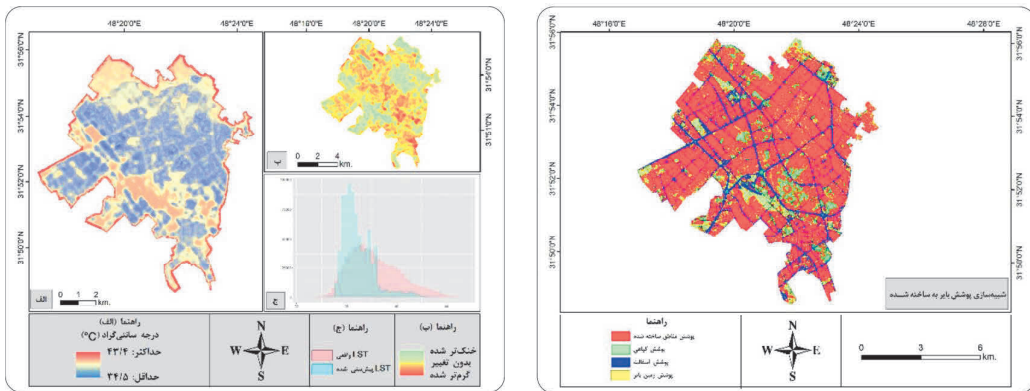
نقشه LST پیش‌بینی شده در شبیه‌سازی تغییر پوشش زمین‌های بایر به پوشش گیاهی، به همراه نقشه تغییرات به نسبت وضعیت اصلی و هیستوگرام آن، در شکل ۱۲ نشان داده شده است. نتایج نقشه تغییرات به‌وضوح بیان می‌کند LST زمین‌های بایر کاهش محسوس یافته‌اند. این کاهش در مناطق شمال شرق به‌سمت مرکز پوشش مناطق ساخته شده هم به‌چشم می‌خورد که شامل بافت تاریخی شهر یزد نیز می‌شود (شکل ۱۲ - چپ (ب)). مقایسه هیستوگرام نقشه LST پیش‌بینی شده با LST برآورده شده از تصویر حرارتی شهر یزد نیز، در قیاس با داده‌های اصلی، نشان می‌دهد چوگی بیشتر داده‌ها، در هیستوگرام پیش‌بینی، به‌سمت راست و تغییر مدد داده‌ها به‌سمت چپ بوده است. این نکته به کاهش LST اشاره دارد. هیستوگرام LST پیش‌بینی شده پراکنش داده‌های جدید را حول محدوده خنکتر 33°C تا 38°C نشان می‌دهد. مدد داده‌ها در این هیستوگرام نیز حدود 35°C است؛ در حالی که رنج داده‌های LST برآورده طبق تصویر حرارتی شهر یزد بین 32°C تا 45°C و مدد آن حدود 37°C بوده است (شکل ۱۲ - چپ (ج)). میانگین LST کل شهر، در این شبیه‌سازی، $36/16^{\circ}\text{C}$ برآورده شده که در قیاس با



شکل ۱۲. راست: نقشه شبیه‌سازی تعییر پوشش اراضی بایر به پوشش گیاهی؛ چپ: نقشه LST برآورده شده در شبیه‌سازی (الف)، نقشه تغییرات LST پساز شبیه‌سازی (ب)، هیستوگرام تغییرات (ج)

کاهش، به 37°C رسیده است. کاهش میانگین کلی LST و میانگین در هر چهار کلاس، بار دیگر اثر پوشش گیاهی در خنک‌کنندگی LST و حذف بخشی از اثرگذاری زمین‌های بایر (30%) را بازگو می‌کند. کاسته شدن این تأثیر خنک‌کنندگی در قیاس با شبیه‌سازی قبلی (تمامی زمین‌های بایر به پوشش گیاهی) نیز بدلیل شبیه‌سازی پخشی (30%) از زمین‌های بایر است (نه 100% آن). اما نکته شایان توجه تأثیر سیار زیاد پوشش گیاهی در میانگین LST در پوشش زمین‌های بایر است. این پوشش فقط با جایگزینی 30% با پوشش گیاهی 179°C (بیشترین تغییر LST بین کل کلاس‌ها، در هر سه شبیه‌سازی) مواجه شده است؛ بنابراین تأثیر خنک‌کنندگی پوشش گیاهی، بهمنزله پوششی دارای کمترین میانگین LST، در پوشش زمین‌های بایر بهمنزله پوششی با بیشترین میانگین LST بسیار بیشتر از دیگر پوشش‌ها بوده است. این می‌تواند اثباتی بر این مدعای باشد که زمین‌های بایر بیشترین اثر را در LST و پوشش گیاهی بیشترین نقش در متعادل‌کنندگی LST را دارد. اثرگذاری پوشش گیاهی، در جایگاه عامل خنک‌کننده، در دمای سطح زمین و ارتباط منفی این دو پارامتر محیطی، پیش‌تر در پژوهش‌های متعددی که ارتباط بین LST و پوشش گیاهی را بررسی کرده‌اند، اثبات شده است و نتایج پژوهش حاضر را تأیید می‌کنند (Alexander, 2021; Guha & Govil, 2021).

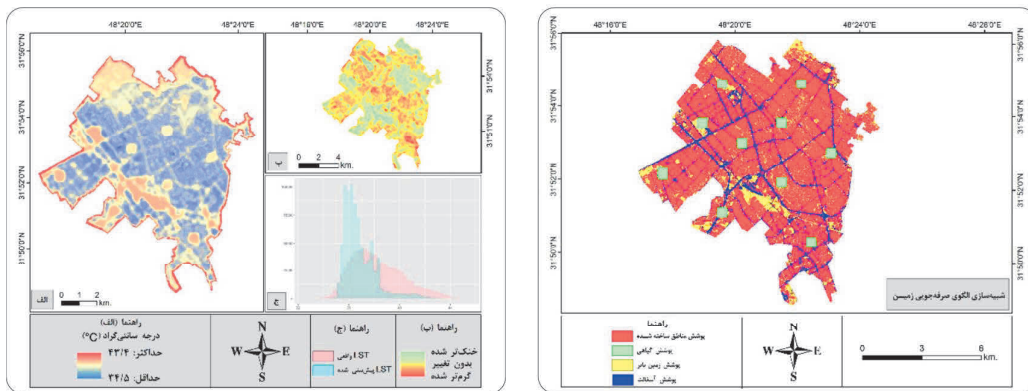
نقشه تغییرات حاکی از کاهش LST در زمین‌های بایر است اما در مجموع، کاهش در LST در این شبیه‌سازی، به نسبت شبیه‌سازی کل زمین‌های بایر به پوشش گیاهی، محدود‌تر و در شبیه‌سازی زمین‌های بایر به مناطق ساخته شده، بیشتر بوده است. ضمن آنکه مناطق نزدیک به مرز شهر کمتر با کاهش دما مواجه بوده (شکل ۱۳- چپ (ب)). با این حال همچنان کاهش پراکنش داده‌های LST از هیستوگرام داده‌ها نمایش داده می‌شود. چولگی بیشتر داده‌ها در هیستوگرام پیش‌بینی به سمت راست و تغییر مد داده‌ها به سمت چپ، به نسبت داده‌های واقعی، کاهش LST را می‌رساند. با پراکنشی بیشتر از دو شبیه‌سازی قبل، رنج دمای پیش‌بینی شده بین 34°C تا نزدیک به 43°C بوده و مد داده‌ها نیز، با اندکی افزایش در قیاس با دو شبیه‌سازی پیشین، در 36°C است، دلیل احتمالی آن نیز حضور باقی مانده زمین‌های بایر در شهر محاسبه می‌شود (شکل ۱۳- چپ (ج)). میانگین LST کل شهر در این مدل، با 164°C کاهش در قیاس با شهر اصلی، به 146°C رسیده است. مقایسه میانگین LST بهتفکیک کلاس‌ها، در این مدل، با شهر اصلی بیان می‌کند در این شبیه‌سازی، میانگین LST در کلاس مناطق ساخته شده، با $26/37^{\circ}\text{C}$ کاهش، به $5/0^{\circ}\text{C}$ رسیده و در کلاس پوشش گیاهی با $39/1^{\circ}\text{C}$ کاهش، به $31/36^{\circ}\text{C}$ در کلاس زمین‌های بایر با $29/1^{\circ}\text{C}$ کاهش، به $34/38^{\circ}\text{C}$ و در پوشش آسفالت با $73/0^{\circ}\text{C}$



شکل ۱۳. راست: نقشه شبیه‌سازی تغییر پوشش گیاهی؛ چپ: نقشه LST برآورده شده در شبیه‌سازی (الف)، نقشه تغییرات LST پس از شبیه‌سازی (ب)، هیستوگرام تغییرات (ج)

برای کلاس مناطق ساخته شده با $1/33^{\circ}\text{C}$ کاهش، $36/43^{\circ}\text{C}$ برآورده است که این نکته هم نقش مهم تراکم پوشش گیاهی در بلوک‌های بزرگ را، در کاهش LST، تأیید می‌کند. میانگین LST برای کلاس پوشش گیاهی با 20.6°C ، به $39/74^{\circ}\text{C}$ افزایش یافته و علت احتمالی این افزایش کم شدن پوشش گیاهی شهر یزد به 50% واقعیت است. میانگین LST برای کلاس زمین‌های بایر نیز، با $2/56^{\circ}\text{C}$ کاهش به $37/57^{\circ}\text{C}$ برآورده است که نقش بسزای تراکم پوشش گیاهی در کاهش میانگین LST زمین‌های بایر را نشان می‌دهد. در نهایت، میانگین LST برای کلاس آسفالت، با $0/21^{\circ}\text{C}$ افزایش، $37/94^{\circ}\text{C}$ برآورده است که این افزایش انداز LST در پوشش مورد نظر، با توجه به فرم ابعاد بزرگ و متراکم پوشش گیاهی و نیز پوشش باریک و کم حجم آسفالت و برعلاوه، فقدان 50% از پوشش گیاهی واقعی، ممکن است به دلیل کاهش مجاورت پوشش آسفالت با پوشش گیاهی باشد. با این حال اثر پوشش گیاهی متراکم در متعادل‌سازی LST پوشش آسفالت (حتی اگر موجب کاهشی شدن میانگین LST نباشد) محسوس است زیرا در غیر این صورت، با حذف حدود 50% پوشش گیاهی شهر، انتظار می‌رفت میانگین LST در آسفالت افزایش شدیدتری داشته باشد.

نقشه LST پیش‌بینی شده در مدل صرفه‌جویی زمین (شکل ۱۴) بیان می‌کند LST اغلب در پوشش زمین‌های بایر کاهش یافته اما از طرفی موجب افزایش نسبی LST در مناطق دارای پوشش گیاهی شده است. این به دلیل حذف پوشش گیاهی در مناطق مورد نظر و تجمعی آن در بلوک‌های بزرگ‌تر است (شکل ۱۴- چپ (ب)). هیستوگرام این داده‌ها نیز حاکی از چولگی بیشتر داده‌ها در هیستوگرام پیش‌بینی، به سمت چپ و همچنین تغییر مدداده‌ها به سمت چپ، در قیاس با داده‌های واقعی است و کاهش LST را می‌رساند. هیستوگرام داده‌های پیش‌بینی LST در رنج $34/45^{\circ}\text{C}$ درجه بوده؛ در صورتی که مدد در هیستوگرام داده‌های پیش‌بینی 36°C در 35°C نیز، به چشم می‌خورد که نشان به مد، در 35°C نیز، به چشم می‌خورد که نشان از تمایل داده‌های سیار LST در 35°C نیز، به چشم می‌خورد که نشان دارد. (شکل ۱۴- چپ (ج)). میانگین LST برای کل شهر، در این شبیه‌سازی، با $1/3^{\circ}\text{C}$ کاهش به نسبت دمای واقعی شهر، $36/96^{\circ}\text{C}$ برآورده است. LST با توجه به اینکه فقط حدود 50% پوشش گیاهی شهر در این شبیه‌سازی به کار رفته است، این کاهش میانگین اثبات می‌کند تراکم بالای پوشش گیاهی و مکان‌یابی آن می‌تواند اهمیت بسزایی در کنترل LST داشته باشد. میانگین LST در قیاس با دمای اصلی شهر یزد،



شکل ۱۴. راست: نقشه شبیه‌سازی پوشش گیاهی در مدل صرفه‌جویی زمین؛ چپ: نقشه LST برآورده شده در شبیه‌سازی (الف)، نقشه تغییرات LST پساز شبیه‌سازی (ب)، هیستوگرام تغییرات (ج)

۳۶/۸۶ °C برآورد شده است. این دما، تقریباً با ۱۰ °C خنک‌تر بودن، با دمای شبیه‌سازی مدل صرفه‌جویی زمین برابر است و چیدمان پوشش گیاهی دارای تراکم پایین و پراکنش بالا میانگین LST را به میزان ۱/۰ درجه بیشتر از مدل صرفه‌جویی در زمین، کاهش داده است. این دما در مقایسه با دمای اصلی شهر بزد، برای کلاس مناطق ساخته شده، با ۱/۳۳ °C کاهش، ۳۶/۴۳ °C برای کلاس پوشش گیاهی با ۰/۸۵ °C کاهش، ۳۶/۸۵ °C برای کلاس زمین‌های بایر با ۲/۵۴ °C کاهش، ۳۷/۵۹ °C و برای کلاس آسفالت با ۰/۲۴ °C افزایش، ۳۷/۹۷ °C برآورد شده است. این مقادیر برآورده شده، به جز در کلاس پوشش گیاهی و به‌غیراز دو یا سه‌دهم درجه سانتی‌گراد، در سایر کلاس‌ها تقریباً با مدل شبیه‌سازی صرفه‌جویی زمین برابر است و تراکم پایین و پراکنش بالای پوشش گیاهی اثر متفاوتی در میانگین LST در پوشش مناطق ساخته شده و زمین‌های بایر نداشته است. این نتایج بار دیگر اثر چیدمان پوشش گیاهی را در کاهش میانگین LST، به‌نسبت دمای واقعی شهر، اثبات می‌کند. تفاوت بارز میانگین LST در این مدل (تقسیم زمین)، در قیاس با مدل صرفه‌جویی زمین در کلاس پوشش گیاهی، چه‌بسا به این دلیل باشد که چیزی پوشش گیاهی در سراسر شهر، سبب جبران فقدان ۵۰٪

نقشه LST پیش‌بینی شده در مدل تقسیم زمین (شکل ۱۵)، علاوه‌بر اشاره به کاهش LST به‌ویژه در مناطق باир، بیانگر کاسته شدن مناطقی است که در مدل صرفه‌جویی زمین، با افزایش دما مواجه بودند (شکل ۱۵- چپ (ب)). تغییر مذکور در هیستوگرام این تصویر که بین ۳۴ تا ۴۳ درجه پراکنش داشته است، نیز دیده می‌شود؛ به صورت مقایسه‌ای، هیستوگرام پیش‌بینی LST در مدل صرفه‌جویی زمین یک قله در ۳/۷۵ °C با حدود ۳۷۵۰۰ پیکسل (کیلومترمربع) دارد (شکل ۱۴- چپ (ج)) که این قله، در هیستوگرام پیش‌بینی LST در مدل تقسیم زمین، به حدود ۳۰۰۰۰ پیکسل (۳ کیلومترمربع) کاهش یافت (شکل ۱۵- چپ (ج)). همچنین مدل هیستوگرام پیش‌بینی LST در مدل صرفه‌جویی زمین، شامل حدوداً ۱۰۰,۰۰۰ پیکسل (۱۰ کیلومترمربع) در محدوده ۳۶ °C بود (شکل ۱۴- چپ (ج))؛ در صورتی که مدل تقسیم زمین این مد، در همین محدوده، شامل حدوداً ۱۱۰,۰۰۰ پیکسل (۱۱ کیلومترمربع) می‌شود (شکل ۱۵- چپ (ج)) که بیانگر کاهش مساحت کلاس گرم‌تر و افزایش مساحت کلاس خنک‌تر در مدل تقسیم زمین، به‌نسبت مدل صرفه‌جویی زمین است. میانگین LST برای کل شهر در این شبیه‌سازی (تقسیم زمین)، با ۱/۴ °C کاهش در قیاس با دمای واقعی شهر، برابر

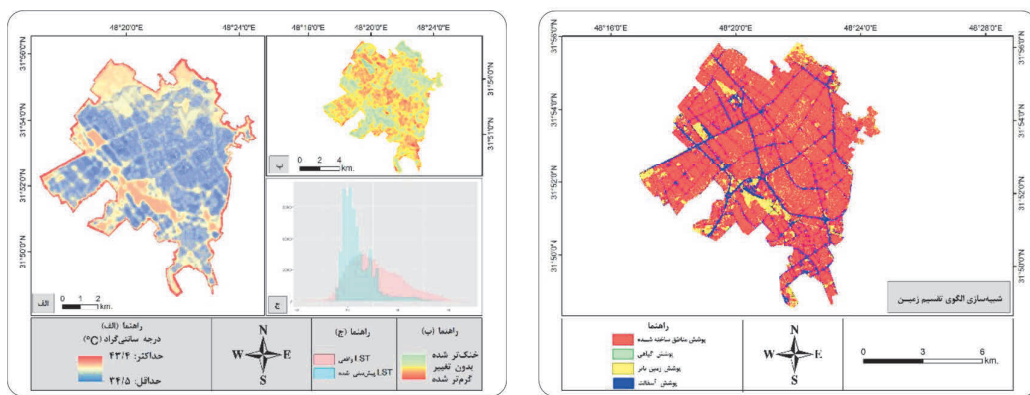
بهینه، اثر و عامل هریک از این پارامترها در LST شهر یزد بررسی شد. پساز آن، مدل‌های شبیه‌سازی چشم‌انداز سطح زمین شهر یزد تهیه و LST، براساس هریک از مدل‌های شبیه‌سازی شده، به دست آمد. بهمنظور افزایش دقیق تصویر مورد استفاده در طبقه‌بندی پوشش اراضی و شاخص‌های استخراج شده از آن، از فیوژن طیفی و مکانی تصویر لنdest-8 با سنتینل-2 استفاده شد که این کار دقت کلی طبقه‌بندی حاصل از تصویر را بهتر ترتیب، از ۷۷/۹٪ در تصویر لنdest به ۸۸/۶٪ (۱۰/۷٪) در تصویر فیوژن شده و ضریب کاپا را از ۶۲/۲٪ در تصویر لنdest به ۷۸/۷٪ (۱۶/۵٪) در تصویر فیوژن شده ارتقا داد.

نتایج این پژوهش مشخص کرد بیشتر پارامترهای مرتبط با همسایگی با پوشش اراضی در رده یکم تا یازدهم تأثیرگذاری در LST شهر یزد قرار دارند. در این بین، مجاورت با پوشش زمین‌های بایر در شعاع ۱۰۰ و ۱۵۰ متر، در مجموع با ۷۳/۵٪ از ضریب اهمیت، بهتر ترتیب رتبه نخست تا سوم مهم‌ترین پارامترهای اثرگذار در LST را از آن خود کردند. پیش‌تر نیز در پژوهش‌های گوناگونی، اثرگذاری بسیار زیاد اراضی Guha & Govil، 2021؛ Mansourmoghaddam et al. 2021 پساز آن، عامل ارتفاع با ضریب اهمیت ۶/۳٪ بهمنزله چهارمین عامل اثرگذار در LST معرفی شد. سپس پوشش

پوشش گیاهی شهر در مدل تقسیم زمین است. این عامل موجب کاهش میانگین LST در کلاس پوشش گیاهی شده است اما تراکم و یک‌جایی پوشش گیاهی و مضار برآن، فقدان نزدیک به ۵۰٪ پوشش گیاهی در مدل صرفه‌جویی زمین، سبب افزایش میانگین LST برآورده شده در این مدل شده بود.

۴- نتیجه‌گیری

هدف از پژوهش حاضر مدل‌سازی LST شهر یزد برای سال ۲۰۲۰، با استفاده از پارامترهای مرتبط با چشم‌انداز سطح زمین، از جمله پوشش اراضی، مجاورت با کلاس‌های گوناگون پوشش اراضی در شعاع ۱۰۰ و ۱۵۰ متر، MNDWI، NDISI، NDBI و NDVI، ارتفاع، شاخص‌های پیش‌بینی شیب و جهت شیب است. همچنین پیش‌بینی LST شبیه‌سازی زمین‌های بایر با پوشش گیاهی، شبیه‌سازی ۳۰٪ از زمین‌های بایر با پوشش گیاهی، شبیه‌سازی پوشش گیاهی شهر یزد در مدل تقسیم زمین، با هدف بررسی LST در حالت‌های متفاوت برنامه‌ریزی و آینده‌نگری برای شهر یزد هدف دیگر این پژوهش بهشمار می‌رود. بدین‌منظور، ابتدا پارامترهای متفاوتی از چشم‌انداز سطح زمین شهر یزد محاسبه شد و سپس با استفاده از الگوریتم یادگیری ماشین از طریق مدل



شکل ۱۵. راست: نقشه شبیه‌سازی پوشش گیاهی در مدل تقسیم زمین؛ چپ: نقشه LST برآورده شده در شبیه‌سازی (الف)، نقشه تغییرات LST پساز شبیه‌سازی (ب)، هیستوگرام تغییرات (ج)

- Expansion, Geographical Urban Planning Research (GUPR), 3(1), PP. 1-17.**
- Alexander, C., 2021, **Influence of the Proportion, Height and Proximity of Vegetation and Buildings on Urban Land Surface Temperature**, International Journal of Applied Earth Observation and Geoinformation, 95, P. 102265.
- Amiri, R., Weng, Q., Alimohammadi, A. & Alavipanah, S.K., 2009, **Spatial-Temporal Dynamics of Land Surface Temperature in Relation to Fractional Vegetation Cover and Land Use/Cover in the Tabriz Urban Area, Iran**, Remote Sensing of Environment, 113(12), PP. 2606-2617.
- Avdan, U. & Jovanovska, G., 2016, **Algorithm for Automated Mapping of Land Surface Temperature Using LANDSAT 8 Satellite Data**, Journal of Sensors, 2016.
- Bonafoni, S. & Keeratikasikorn, C., 2018, **Land Surface Temperature and Urban Density: Multiyear Modeling and Relationship Analysis Using MODIS and Landsat Data**, Remote Sensing, 10(9), P. 1471.
- Colditz, R.R., Wehrmann, T., Bachmann, M., Steinnocher, K., Schmidt, M., Strunz, G. & Dech, S., 2006, **Influence of Image Fusion Approaches on Classification Accuracy: A Case Study**, International Journal of Remote Sensing, 27(15), PP. 3311-3335.
- Collas, L., Green, R.E., Ross, A., Wastell, J.H. & Balmford, A., 2017, **Urban Development, Land Sharing and Land Sparing: The Importance of Considering Restoration**, Journal of Applied Ecology, 54(6), PP. 1865-1873.
- CustomWeather, 2022, **Climate & Weather Averages in Yazd, Iran**, Retrieved from <https://www.timeanddate.com/weather/iran/yazd/climate>.
- Dos Santos, A.R., de Oliveira, F.S., da Silva, A.G., Gleriani, J.M., Gonçalves, W., Moreira, G.L..., & da Silva, R.G., 2017, **Spatial and Temporal Distribution of Urban Heat Islands**, Science of the Total Environment, 605, PP. 946-956.
- آسفالت در مجاورت ۱۰۰ متر، با کسب ۴٪ اهمیت، پنجمین عامل مؤثر در LST شهر یزد به شمار رفت. پوشش گیاهی در مجاورت ۱۵۰، ۱۰۰ و ۵۰ متر، به ترتیب با ۲٪، ۳٪ و ۲٪ ضریب اهمیت، در رتبه‌های ششم، هفتم و هشتم اثرگذاری در LST در شهر یزد مدل شدند. پوشش آسفالت در مجاورت ۵۰ متر با ۹٪، پوشش مناطق ساخته شده در مجاورت ۵۰ متر با ۴٪ و پوشش آسفالت در مجاورت ۱۵۰ متر با ۲٪ ضریب اهمیت، به ترتیب در رتبه‌های نهم و دهم و یازدهم اثرگذاری در LST شهر یزد در نتایج قرار گرفتند. همچنین مقادیر شاخص NDVI با کسب ۱٪ ضریب اهمیت، در رتبه دوازدهم این اثرگذاری واقع شد. سایر شاخص‌ها، از جمله پوشش مناطق ساخته شده در مجاورت ۱۵۰ و ۱۰۰ متر، کلاس زمین‌های بایر، مقادیر شاخص NDBI، کلاس پوشش مناطق ساخته شده، جهت شبیه، مقادیر شاخص NDISI، کلاس پوشش گیاهی، درصد شبیه، مقادیر شاخص MNDWI و کلاس آسفالت، هریک با ضریب اهمیت کمتر از ۰٪ به ترتیب رتبه‌های یازدهم تا بیست و دوم اثرگذاری در LST را به خود اختصاص دادند. این پژوهش همچنین نشان داد تغییر آرایش پوشش اراضی می‌تواند در LST تأثیر بگذارد و تغییر پوشش زمین‌های بایر به (۱) مناطق ساخته شده، تا ۱°C (۲) پوشش گیاهی، تا ۲°C (۳) تغییر ۳٪ از زمین‌های بایر به پوشش گیاهی، تا ۱°C می‌تواند میانگین LST را در شهر یزد کاهش دهد. افزون برینهای پژوهش حاضر، با بررسی دو مدل متفاوت شبیه‌سازی ایجاد پوشش گیاهی در سطح شهر یزد، نشان داد مدل صرفه‌جویی در زمین و مدل تقسیم زمین می‌تواند میانگین LST را در شهر یزد، به ترتیب تا ۱/۳°C و ۱/۴°C کاهش دهد.

- منابع

- Alavipanah, S.K., Hashemi Darrehbadami, S. & Kazemzadeh, A., 2015, **Spatial- Temporal Analysis of Urban Heat- Island of Mashhad City Due to Land Use/ Cover Change and**

- eesa. **MultiSpectral Instrument (MSI) Overview**, Retrieved from <https://sentinel.esa.int/web/sentinel/technical-guides/sentinel-2-msi/msi-instrument>.
- Grimmond, C., 2006, **Progress in Measuring and Observing the Urban Atmosphere**, Theoretical and Applied Climatology, 84(1-3), PP. 3-22.
- Grimmond, S.U., 2007, **Urbanization and Global Environmental Change: Local Effects of Urban Warming**, Geographical Journal, 173(1), PP. 83-88.
- Guha, S. & Govil, H., 2021, **An Assessment on the Relationship between Land Surface Temperature and Normalized Difference Vegetation Index**, Environment, Development and Sustainability, 23(2), PP. 1944-1963.
- IBM, 2020, **What is Machine Learning?**, Retrieved from <https://www.ibm.com/cloud/learn/machine-learning>.
- Ishtiaque, A., Shrestha, M. & Chhetri, N., 2017, **Rapid Urban Growth in the Kathmandu Valley, Nepal: Monitoring Land Use Land Cover Dynamics of a Himalayan City with Landsat Imagery**, Environments, 4(4), P. 72.
- Jensen, J.R., 1996, **Introductory Digital Image Processing: A Remote Sensing Perspective**, Prentice-Hall Inc.
- Jiang, J. & Tian, G., 2010, **Analysis of the Impact of Land Use/Land Cover Change on Land Surface Temperature with Remote Sensing**, Procedia environmental sciences, 2, PP. 571-575.
- Kafy, A.A., Dey, N.N., Al Rakib, A., Rahaman, Z.A., Nasher, N.R. and Bhatt, A., 2021. **Modeling the relationship between land use/land cover and land surface temperature in Dhaka, Bangladesh using CA-ANN algorithm**. Environmental Challenges, 4, p.100190. <https://doi.org/10.1016/j.envc.2021.100190>
- Karakuş, C.B., 2019, **The Impact of Land Use/Land Cover (LULC) Changes on Land Surface Temperature in Sivas City Center and Its Surroundings and Assessment of Urban Heat Island**, Asia-Pacific Journal of Atmospheric Sciences, 55(4), PP. 669-684.
- Kikegawa, Y., Genchi, Y., Yoshikado, H. & Kondo, H. 2003, **Development of a Numerical Simulation System toward Comprehensive Assessments of Urban Warming Countermeasures Including Their Impacts upon the Urban Buildings' Energy-Demands**, Applied Energy, 76(4), PP. 449-466.
- LANDSAT 8 Data Users Handbook, 2015, **Department of the Interior US Geological Survey**.
- Li, X., Zhou, Y., Asrar, G.R., Imhoff, M. & Li, X., 2017, **The Surface Urban Heat Island Response to Urban Expansion: A Panel Analysis for the Conterminous United States**, Science of the Total Environment, 605, PP. 426-435.
- Mansourmoghadam, M., Rosta, I., Zamani, M., Mokhtari, M.H., Karimi Firozjaei, M. & Alavipanah, S.K., 2021, **Study and Prediction of Land Surface Temperature Changes of Yazd City: Assessing the Proximity and Changes of Land Cover**, Journal of RS and GIS for Natural Resources, 12(4), PP. 1-27.
- Mansourmoghadam, M., Ghafarian Malamiri, H.R., Arabi Aliabad, F., Fallah Tafti, M., Haghani, M. & Shojaei, S., 2022a, **The Separation of the Unpaved Roads and Prioritization of Paving These Roads Using UAV Images**, Air, Soil and Water Research, 15, P. 11786221221086285.
- Mansourmoghadam, M., Rosta, I., Ghaffarian, H. & Mokhtari, M.H., 2022b, **Evaluating the Capability of Spatial and Spectral Fusion in Land-Cover Mapping Enhancement**, Earth Observation and Geomatics Engineering, 6(1), PP. 161-174.
- Maurer, T., 2013, **How to Pan-Sharpen Images Using the Gram-Schmidt Pan-Sharpen Method-A Recipe**, International Archives of the Photogrammetry, Remote Sensing and Spatial Information Sciences, 1, P. W1.
- Meineke, E.K., Dunn, R.R. & Frank, S.D., 2014, **Early Pest Development and Loss of Biological Control Are Associated with Urban Warming**, Biology Letters, 10(11), P. 20140586.

- Module, F., 2009, **Atmospheric Correction Module: QUAC and FLAASH User's Guide**, Version, 4, P. 44.
- Mustafa, E.K., Liu, G., El-Hamid, A., Hazem, T. & Kaloop, M.R., 2021, **Simulation of Land Use Dynamics and Impact on Land Surface Temperature Using Satellite Data**, GeoJournal, 86(3), PP. 1089-1107.
- Mwakapuja, F., Liwa, E. & Kashaigili, J., 2013, **Usage of Indices for Extraction of Built-Up Areas and Vegetation Features from Landsat TM Image: A Case of Dar es Salaam and Kisarawe Peri-Urban Areas, Tanzania**, International Journal of Agriculture and Forestry, 3(7): PP. 273-283.
- Oke, T.R., 1982, **The Energetic Basis of the Urban Heat Island**, Quarterly Journal of the Royal Meteorological Society, 108(455), PP. 1-24.
- Osborne, P.E. & Alvares-Sanches, T., 2019, **Quantifying How Landscape Composition and Configuration Affect Urban Land Surface Temperatures Using Machine Learning and Neural Landscapes**, Computers, Environment and Urban Systems, 76, PP. 80-90.
- Peng, J., Ma, J., Liu, Q., Liu, Y., Li, Y. & Yue, Y., 2018, **Spatial-Temporal Change of Land Surface Temperature Across 285 Cities in China: An Urban-Rural Contrast Perspective**, Science of the Total Environment, 635, PP. 487-497.
- Peng, X., Wu, W., Zheng, Y., Sun, J., Hu, T. & Wang, P., 2020, **Correlation Analysis of Land Surface Temperature and Topographic Elements in Hangzhou, China**, Scientific Reports, 10(1), PP. 1-16.
- Piringer, M., Grimmond, C.S.B., Joffre, S.M., Mestayer, P., Middleton, D., Rotach, M., ..., & Guilloteau, E., 2002, **Investigating the Surface Energy Balance in Urban Areas-Recent Advances and Future Needs**, Water, Air and Soil Pollution: Focus, 2(5-6), PP. 1-16.
- Plocoste, T., Jacoby-Koaly, S., Molinié, J. & Petit, R., 2014, **Evidence of the Effect of an Urban Heat Island on Air Quality Near a Landfill**, Urban climate, 10, PP. 745-757.
- Quattrochi, D.A. & Luvall, J.C., 1999, **Thermal Infrared Remote Sensing for Analysis of Landscape Ecological Processes: Methods and Applications**, Landscape Ecology, 14(6), PP. 577-598.
- Richards, J.A. & Richards, J., 1999, **Remote Sensing Digital Image Analysis** (Vol. 3), Springer.
- Rizwan, A.M., Dennis, L.Y. & Chunho, L., 2008, **A Review on the Generation, Determination and Mitigation of Urban Heat Island**, Journal of Environmental Sciences, 20(1), PP. 120-128.
- Rokni, K., Ahmad, A., Solaimani, K. & Hazini, S., 2015, **A New Approach for Surface Water Change Detection: Integration of Pixel Level Image Fusion and Image Classification Techniques**, International Journal of Applied Earth Observation and Geoinformation, 34, PP. 226-234.
- Story, M. & Congalton, R.G., 1986, **Accuracy Assessment: A User's Perspective**, Photogrammetric Engineering and Remote Sensing, 52(3), PP. 397-399.
- Stott, I., Soga, M., Inger, R. & Gaston, K.J., 2015, **Land Sparing Is Crucial for Urban Ecosystem Services**, Frontiers in Ecology and the Environment, 13(7), PP. 387-393.
- Taha, H., 1997, **Urban Climates and Heat Islands: Albedo, Evapotranspiration, and Anthropogenic Heat**, Energy and Buildings, 25(2), PP. 99-103.
- Thompson, W.D. & Walter, S.D., 1988, **A Reappraisal of the Kappa Coefficient**, Journal of Clinical Epidemiology, 41(10), PP. 949-958.
- Tran, D.X., Pla, F., Latorre-Carmona, P., Myint, S.W., Caetano, M. & Kieu, H.V., 2017, **Characterizing the Relationship between Land Use Land Cover Change and Land Surface Temperature**, ISPRS Journal of Photogrammetry and Remote Sensing, 124, PP. 119-132.
- Ullah, S., Ahmad, K., Sajjad, R.U., Abbasi, A.M., Nazeer, A. & Tahir, A.A., 2019, **Analysis and Simulation of Land Cover Changes and Their Impacts on Land Surface Tempera-**

- ture in a Lower Himalayan Region**, Journal of Environmental Management, 245, PP. 348-357.
- USGS, **What Are the Band Designations for the Landsat Satellites?**, 2021, Retrieved from https://www.usgs.gov/faqs/what-are-band-designations-landsat-satellites?qt-news_science_products=0#qt-news_science_products.
- USGS, 2014, **OLI and TIRS Calibration Notices**, In: Landsat 8 Reprocessing to Begin February, 3, 2014.
- Weatherbase, 2022, **Yazd, Iran**, Monthly - Weather Averages Summary. Retrieved from <http://www.weatherbase.com/weather/weather.php3?s=592536&cityname=Yazd-Yazd>.
- Willmott, C.J. & Matsuura, K., 2006, **On the Use of Dimensioned Measures of Error to Evaluate the Performance of Spatial Interpolators**, International Journal of Geographical Information Science, 20(1), PP. 89-102.
- Xu, H., 2006, **Modification of Normalised Difference Water Index (NDWI) to Enhance Open Water Features in Remotely Sensed Imagery**, International Journal of Remote Sensing, 27(14), PP. 3025-3033.
- Xu, H., 2010, **Analysis of Impervious Surface and Its Impact on Urban Heat Environment Using the Normalized Difference Impervious Surface Index (NDISI)**, Photogrammetric Engineering & Remote Sensing, 76(5), PP. 557-565.
- Yazd Municipality website, 2019, **History of Yazd**, Retrieved from <https://www.yazd.ir/fa/web/yazd/w/%D8%AA%D8%A7%D8%B1%D8%C%D8%AE%D8%86%D9%87%D8%C%D8%B2%D8%AF>. Accessed on 2022-03-03.
- Ziaul, S. & Pal, S., 2016, **Image Based Surface Temperature Extraction and Trend Detection in an Urban Area of West Bengal, India**, Journal of Environmental Geography, 9(3-4), PP. 13-25.



سنجش از دور

، ایران GIS



سنجش از دور و GIS ایران
Vol.15, No. 3, Autumn 2023 Iranian Remote Sensing & GIS

1-26

Investigating and Modeling the Effect of the Composition and Arrangement of the Landscapes of Yazd City on the Land Surface Temperature Using Machine Learning and Landsat-8 and Sentinel-2 Data

Mansourmoghadam M.¹, Rousta I.^{2*}, Zamani M.S.³, Mokhtari M.H.⁴, Karimi Firozjaei M.⁵, Alavipanah S.K.⁶

1. Ph.D. Student of Remote Sensing, R.S. & GIS, Research Center, Shahid Beheshti University,

2. Assistant Prof. of Satellite Climatology, Yazd University

3. Assistant Prof. of Mathematics, Yazd University

4. Associate Prof. of Remote Sensing, Yazd University

5. Dep. of Remote Sensing, Tehran University

6. Prof. of Remote Sensing, Tehran University

Abstract

The effect of urban thermal islands due to intersections with major environmental challenges of the 21st century is one of the most important studies on environmental phenomena, and in this regard, the study of the land surface temperature gives a clear perspective of the thermal islands in cities, which, according to the warm and dry climate of Yazd, examines the status and factors affecting the land surface temperature in this city seem to be necessary. This research, using the spectrally and spatially fused image of Landsat-8, for August 2020, and using machine learning algorithms, tries to model the changes in land surface temperature by calculating different parameters related to urban land perspective. Based on the results of this study, the spectral-spatial fusion of Landsat-8 with Sentinel-2 by Pan sharpening, increased 10.7% of the overall accuracy and 16.5% of the Kappa coefficient in the classification of this image. The study also showed that most neighboring parameters associated with land cover are ranked 1 to 11 of influencing the land surface temperature of Yazd city. In this area, the proximity to bare lands in the radius of 100, 50, and 150 meters ranked 1 to 3 of the most important parameters affecting the land surface temperature respectively. This study showed that the change in land cover arrangement could affect the land surface temperature and changing the bare lands to the built-up areas, up to 1.1°C, to vegetation, up to 2.1°C, and changing 30% of bare land to vegetation, up to 1.6°C can reduce the average land surface temperature in Yazd. Also, this study showed that two different models of vegetation simulation in Yazd city showed that the "land-sparing" model could reduce the average land surface temperature in Yazd by 1.3° and the "land-sharing" model by 1.4°C.

Keywords: Gradient boosting, Image fusion, Urban parameters, Land cover simulation, Remote sensing.

* Correspondence Address: Dep. of Geography, Yazd University, Yazd. Tel: 8915818411

Email: irousta@yazd.ac.ir

<https://orcid.org/0000-0002-3694-6936>

<https://dx.doi.org/10.48308/gisj.2023.102195>



Copyright: © 2023 by the authors. Submitted for possible open access publication under the terms and conditions of the Creative Commons Attribution (CC BY) license (<https://creativecommons.org/licenses/by/4.0/>).